

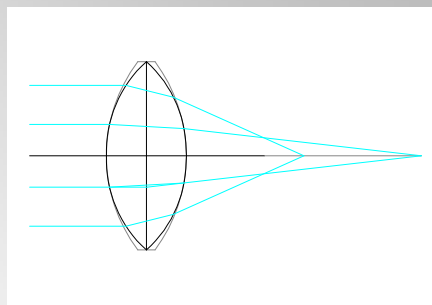
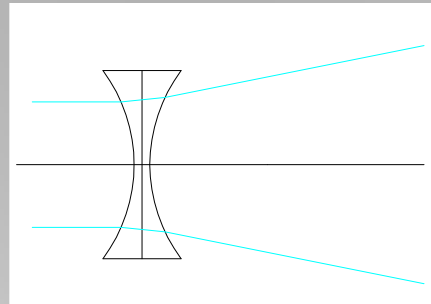
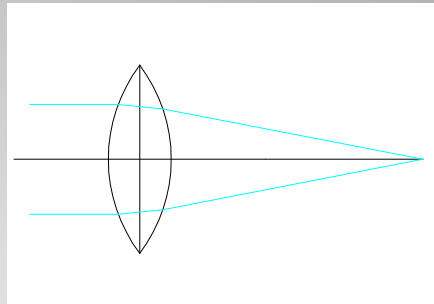
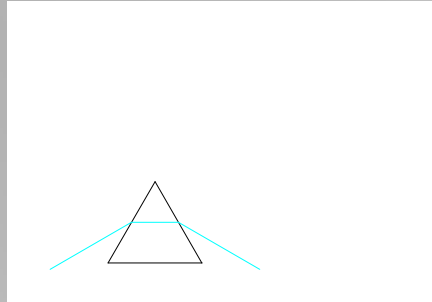
Normal Conducting FAIR Magnets – Basics and Examples

**Hanno Leibrock, GSI Darmstadt
Storage Rings Meeting
25.06.2015**



**Thank you
for beeing
here and not
looking for
an
alternatve**

Why?



- ◆ Dipoles:
 - Bending beams
 - Separation of particles with other magnetic rigidity
 - Spectrometer

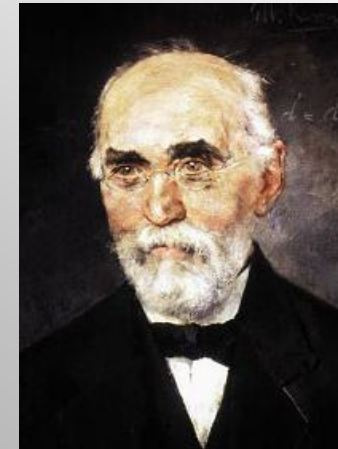
- ◆ Quadrupoles:
 - focusing and defocusing of beams

- ◆ Sextupoles, Octupoles, Steerer, ...:
 - Corrections

Lorentz-equation



Charles Augustin de Coulomb
 (1736 – 1806)
 Coulomb force
 $\mathbf{F} = q\mathbf{E}$



Hendrik Antoon Lorentz
 (1853 – 1928)
 Lorentz force
 $\mathbf{F} = q\mathbf{v} \times \mathbf{B}$

$$\mathbf{F} = q\mathbf{E} + q\mathbf{v} \times \mathbf{B}$$

with $v = c/2$, E must be $1.5 \cdot 10^6$ V/cm to get same effect as 1 Tesla

Accelerator magnets

Current dominated

Iron dominated

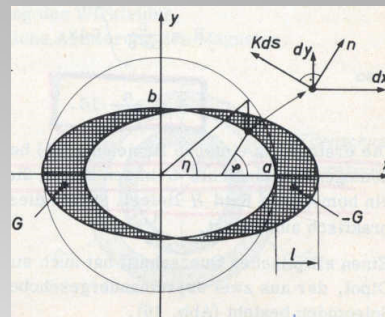
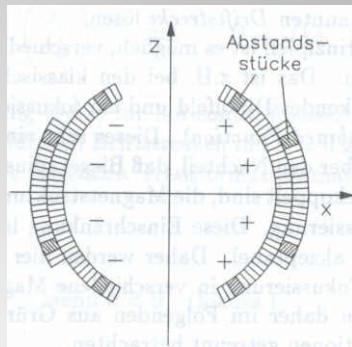
cos nθ

overlapping ellipses

H-magnet

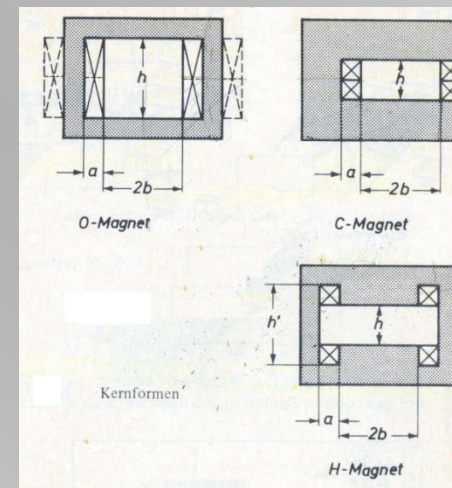
C-magnet

Window frame



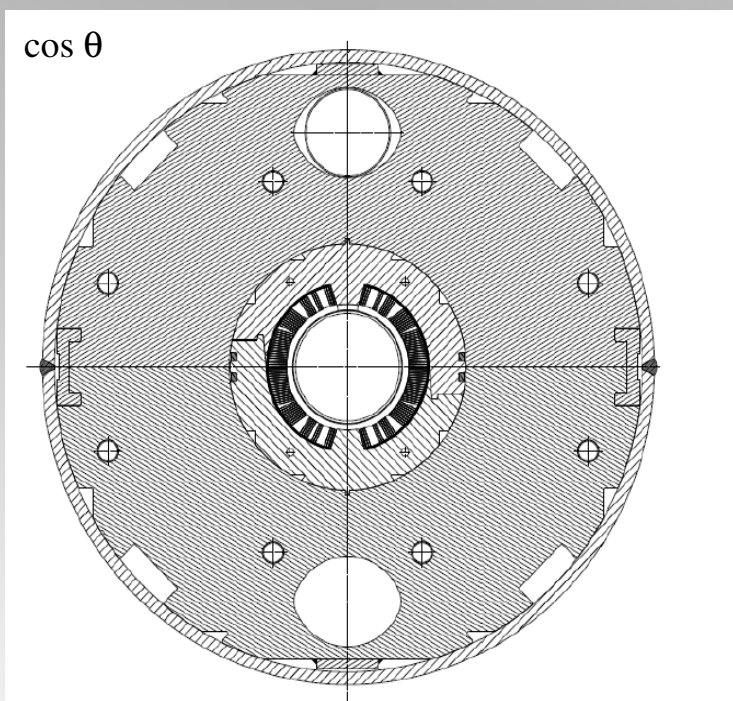
Biot and Savart's law

$$d\mathbf{B}(\mathbf{r}) = \frac{\mu_0}{4\pi} I d\mathbf{l} \times \frac{\mathbf{r} - \mathbf{r}'}{|\mathbf{r} - \mathbf{r}'|^3}$$



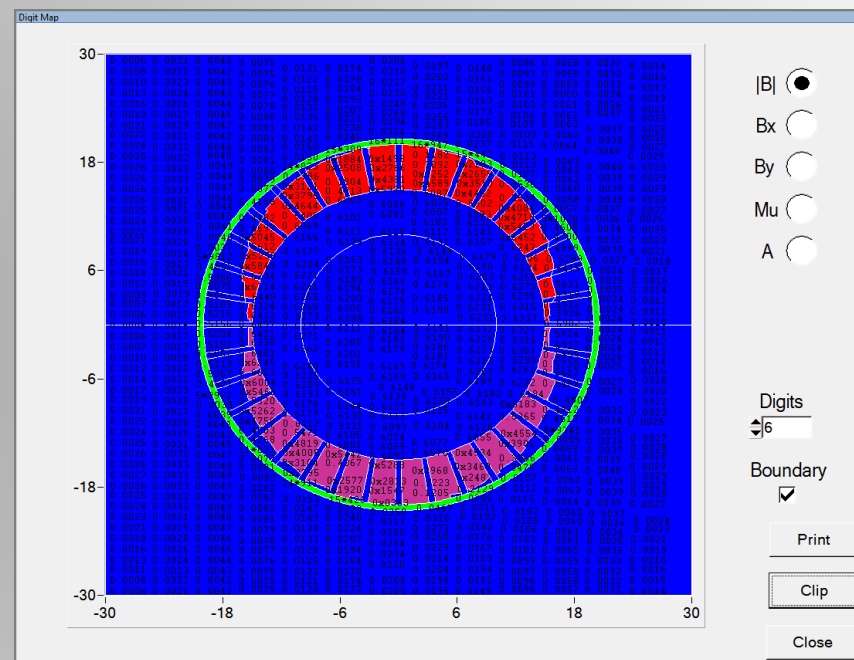
Examples of current dominated magnets

Full size curved short SIS 300 dipole prototype (superconducting)



aperture radius	43 mm
cold mass outer radius	250 mm
current density	460 A/mm ²
peak field on coil	4.9 T

Steering magnet for CR (vertical, BINP 2015)



aperture radius	100 mm
outer radius	~200 mm
current density	1.4 A/mm ²
dipole field	0.06 T

Pros and cons

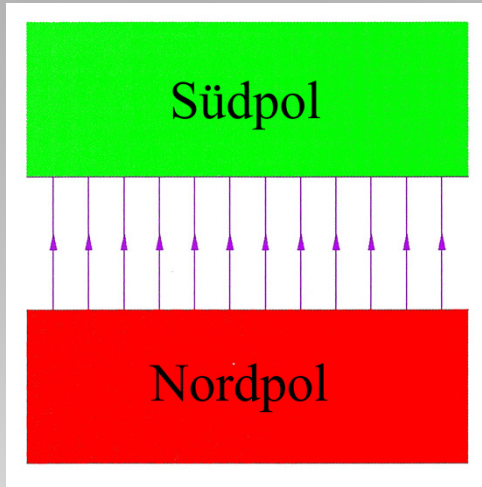
Current dominated

- No/low saturation effects
- High flux densities possible with no/low change of field quality
- Easy combination of independent multipoles
- More ampere turns required for same field level => higher power consumption
- Field quality depends strongly on position of conductors
- Complex coil winding

Iron dominated

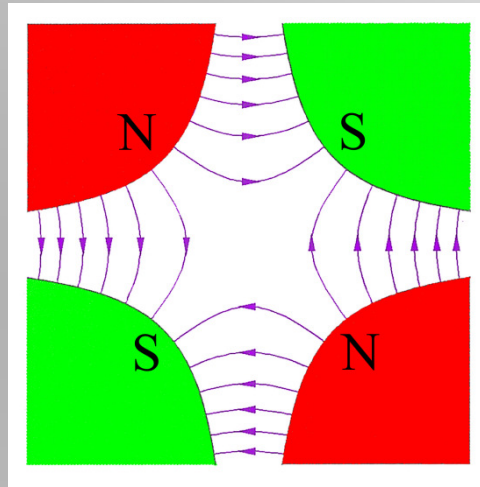
- Saturation effects above 1.6 Tesla in iron
- Hard to reach good field quality within a wide range of field level
- Complicated to include independent multipoles inside dipoles or quadrupoles
- Less ampere turns required for same field level => lower power consumption
- Field is mainly shaped by iron => better control on the relevant parts for the field quality during production

Flux lines of iron dominated magnets



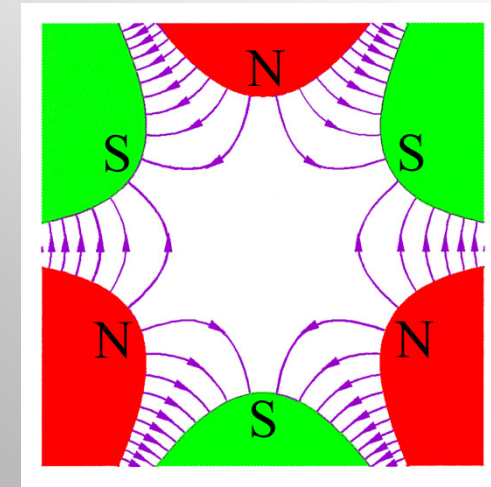
Dipole

$$B = \text{const.}$$



Quadrupole

$$B = g \cdot r = B' \cdot r$$



Sextupole

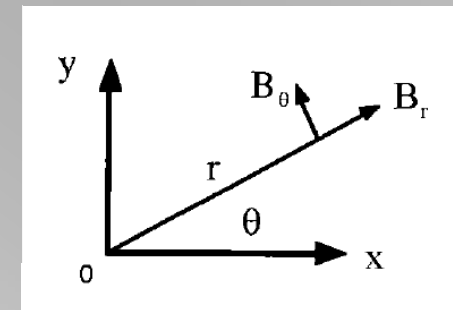
$$\text{Sextupol: } B = B'' \cdot r^2/2$$

$$\text{Octupol: } B = B''' \cdot r^3/6$$

$$B_r = - \sum_n (A_n r^{n-1} \cos n\theta + B_n r^{n-1} \sin n\theta)$$

$$B_\theta = - \sum_n (-A_n r^{n-1} \sin n\theta + B_n r^{n-1} \cos n\theta)$$

Dipole: $n = 1$, Quadrupol: $n=2$, ...



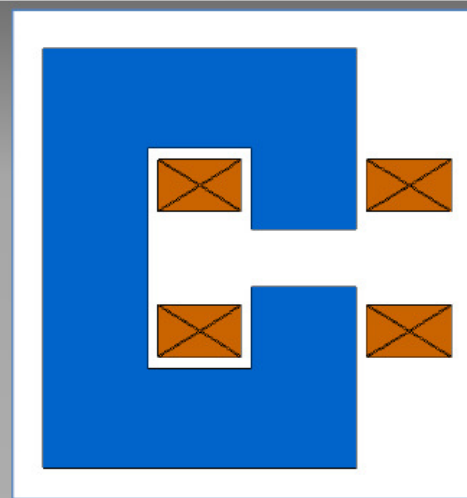
Multipole

Polform	Feld	Polverlauf	$B_z =$	$wI =$
<p>Dipol</p>		$Z = \pm R$	$a_1 = B_0$	$\frac{2}{\mu_0} B_0 R$
<p>Quadrupol</p>		$XZ = \pm \frac{R^2}{2}$	$a_2 X = gX$	$\frac{1}{\mu_0} g R^2$
<p>Sextupol</p>		$Z(X^2 - \frac{Z^2}{3}) = \pm \frac{R^3}{3}$	$a_3(X^2 - Z^2)$	$\frac{2}{3\mu_0} a_3 R^3$
<p>Oktupol</p>		$XZ(X^2 - Z^2) = \pm \frac{R^4}{4}$	$a_4 X(X^2 - 3Z^2)$	$\frac{1}{2\mu_0} a_4 R^4$

But size of magnets are not infinite

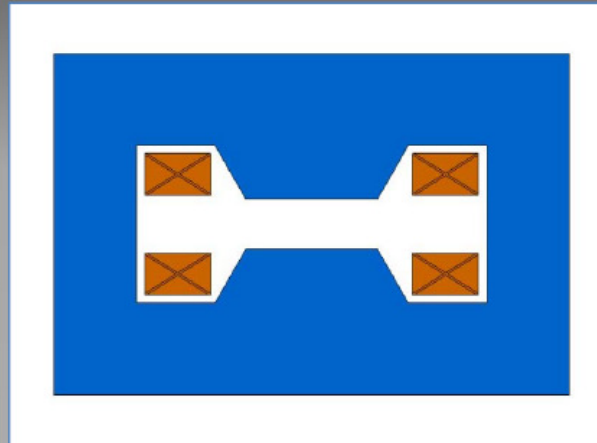
Dipole types

C-Shape



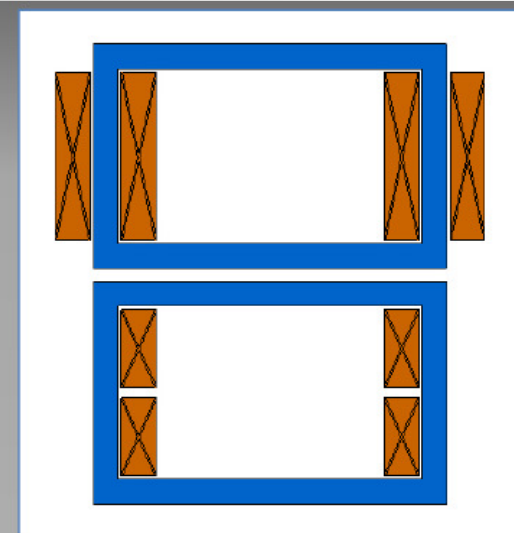
Accessibility: very good
 Shims required: yes
 Mechanical stability: poor
 Iron weight: high
 coil shape: race track

H-Shape



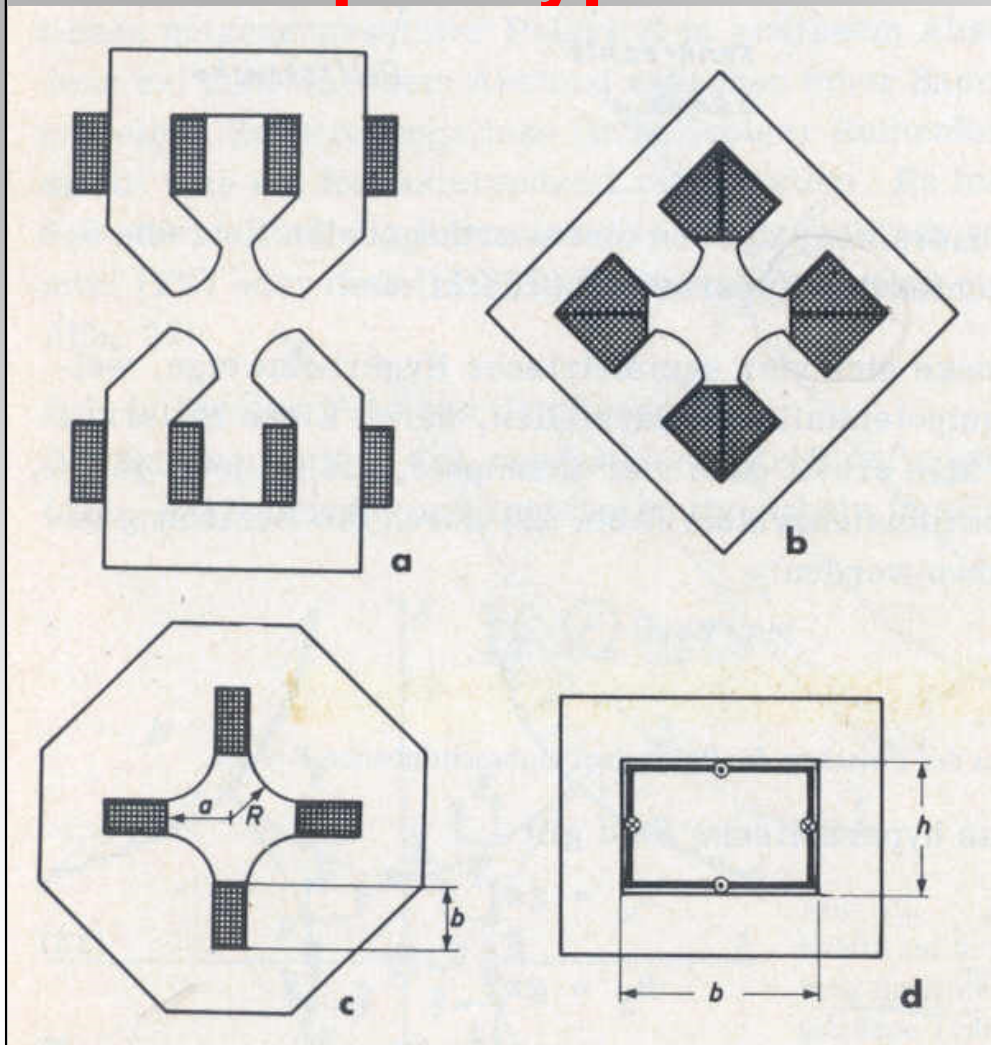
Accessibility: poor
 Shims required: yes
 Mechanical stability: good
 Iron weight: medium
 coil shape: race track

window frame



Accessibility: very poor
 Shims required: no
 Mechanical stability: good
 Iron weight: low
 coil shape: bedstead

Quadrupole Typs



- a) Collins quadrupole
(\approx „Figure of 8“-quadrupole)
- b) 1. Standard quadrupole
(no widening of pole basis)
- c) 2. Standard quadrupole
(maximum widening of pole basis => reducing of saturation in pole)
- d) Panofsky quadrupole

Quadrupol doublet

- ◆ Quadrupoles focus in one direction but defocus in the other direction
- ◆ Solution: Two quadrupoles (doublet) focus in both directions

The focal length for a combined system is given by:

$$\frac{1}{f_{\text{ges}}} = \frac{1}{f_1} + \frac{1}{f_2} - \frac{d}{f_1 \cdot f_2}$$

Combination of focusing and defocusing quadrupole with same focal length f und $-f$:

$$\frac{1}{f_{\text{ges}}} = +\frac{d}{f^2}$$

(distance between two lenses: d)

Exotic Magnets

Solenoid

- ◆ Simple coil
- ◆ Magnetic field along beam direction
- ◆ Focusing in both direction due to fringe effects

Septum

- ◆ Dipole magnets with small blade between injected / extracted beam and circulating beam
- ◆ Blade: coil and shield
- ◆ as low as possible influence on circulating beam

Einschub zur Bestimmung des notwendigen Erregungstromes

Ampere's circuital law:

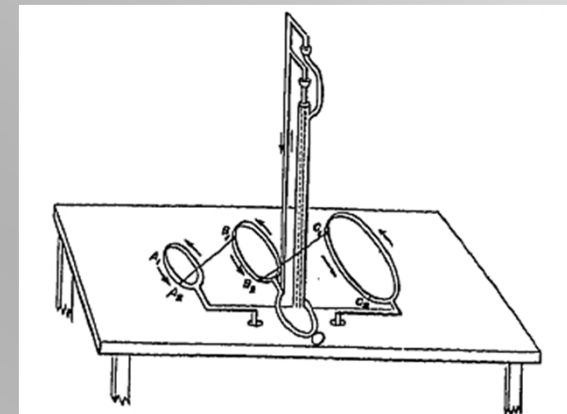
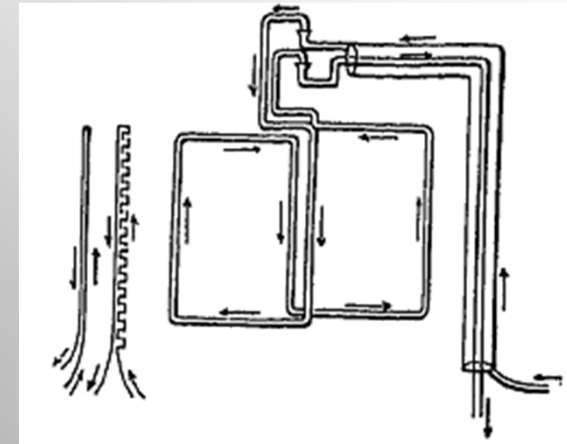


André-Marie Ampère
(1775 – 1836)

$$\oint_{\partial A} \mathbf{H} \cdot d\mathbf{s} = \int_A \mathbf{j} \cdot d\mathbf{A} + \frac{d}{dt} \int_A \mathbf{D} \cdot d\mathbf{A}$$

the line integral of the magnetic field \mathbf{H} around a closed curve ∂A equals the current I through the surface A

Maxwell's experimental setup to illustrate Ampère's law

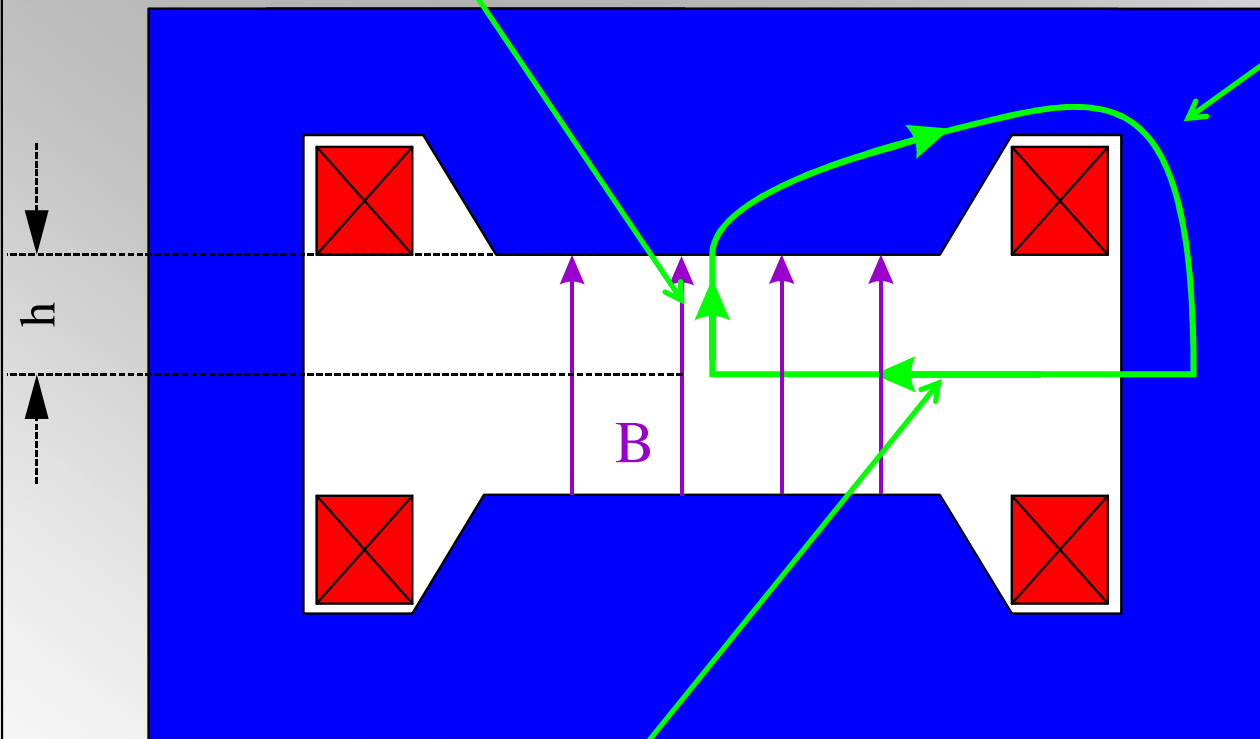


Estimation of ampere turns with Ampere's circuital law ($H = B/\mu$)

$$\int \frac{\vec{B}}{\mu\mu_0} \cdot d\vec{l} = \frac{Bh}{\mu_0}$$

$$\int \frac{\vec{B}}{\mu\mu_0} \cdot d\vec{l} = \frac{Bh}{\mu\mu_0}$$

ist klein, da μ groß



$$\int \frac{\vec{B}}{\mu\mu_0} \cdot d\vec{l} = 0, \quad \text{weil } \vec{B} \perp \vec{l}$$

Ampère's law:

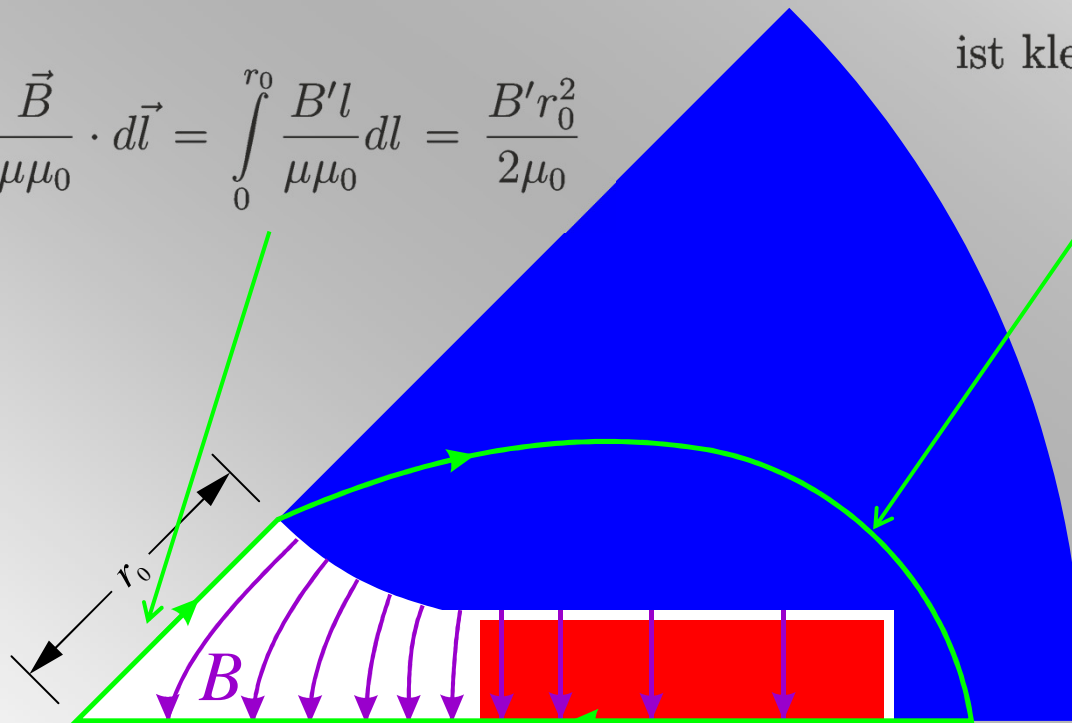
$$NI \approx \frac{Bh}{\mu_0}$$

Estimation of ampere turns with Ampere's circuital law ($H = B/\mu$)

$$\int \frac{\vec{B}}{\mu\mu_0} \cdot d\vec{l} = \int_0^{r_0} \frac{B'l}{\mu\mu_0} dl = \frac{B'r_0^2}{2\mu_0}$$

$$\int \frac{\vec{B}}{\mu\mu_0} \cdot d\vec{l} = \frac{Bh}{\mu\mu_0}$$

ist klein, da μ groß



$$\int \frac{\vec{B}}{\mu\mu_0} \cdot d\vec{l} = 0, \text{ weil } \vec{B} \perp \vec{l}$$

Ampère's law:

$$NI \approx \frac{B'r_0^2}{2\mu_0}$$

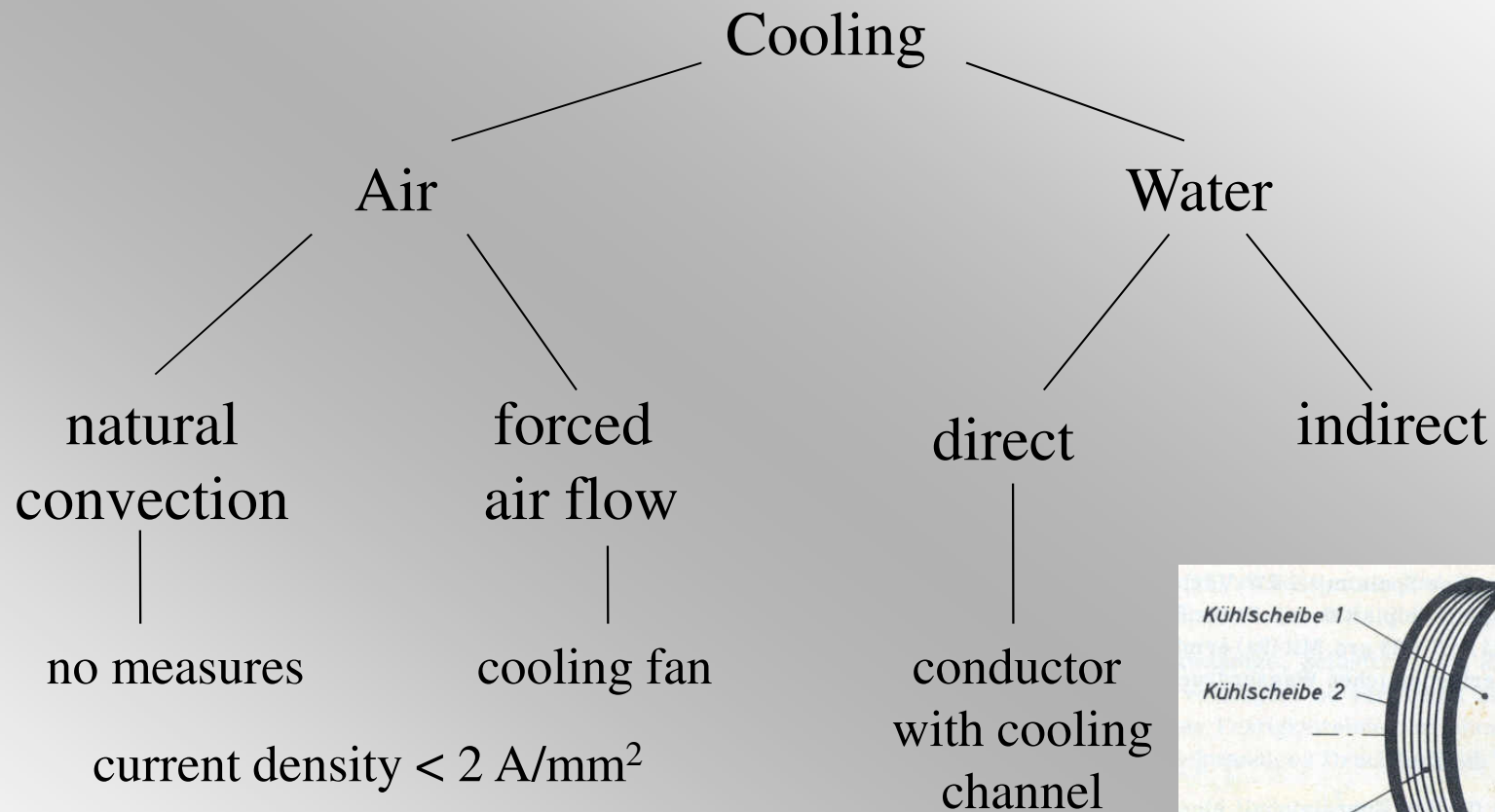
Analog für Sextupol:

$$NI \approx \frac{B''r_0^3}{6\mu_0}$$

Leitermaterialien

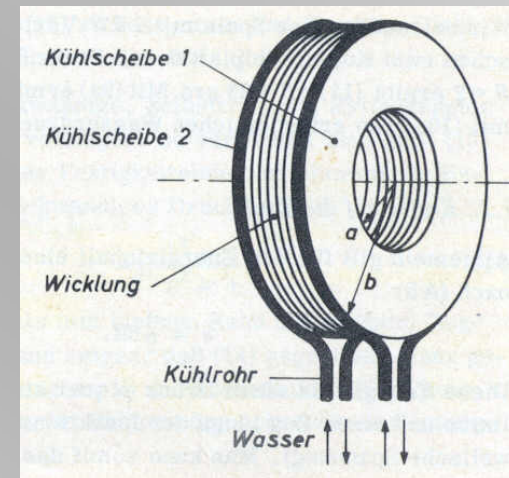
	Aluminium (rein, > 99.5%)	Kupfer (OFHC- Oxygen free high conductivity)
Preis (01/2003)	2,70 – 3,0 EUR/kg	8 – 16 EUR/kg
Leitfähigkeit	36 S m/mm ²	58 S m/mm ²
Dichte	2,70 g/cm ³	8,96 g/cm ³
Linearer Ausdehnungskoeffizient	23 · 10 ⁻⁶ K ⁻¹	17 · 10 ⁻⁶ K ⁻¹
Elastizitätsmodul	72.000 N/mm ²	123.000 N/mm ²
Keystoning-Effekt	Geringer	Höher
Oxydation	An Luft, löst sich elektrochemisch in gemischten Kühlkreisläufen mit Kupferspulen	Gering
Schlussfolgerungen (auf der Basis eines identischen <i>N·I</i>)	<ul style="list-style-type: none"> ◆ Größer ◆ Leichter ◆ Größere Transparenz f. Teilchen ◆ Geringere Investitionskosten ◆ Höhere Betriebskosten ⇒ Eher für Detektormagnete	<ul style="list-style-type: none"> ◆ Kleiner ◆ Schwerer ◆ Verringerte Transparenz f. Teilchen ◆ Höhere Investitionskosten ◆ Geringere Betriebskosten ⇒ Eher für Beschleunigermagnete

Cooling of coils



current density $< 2 \text{ A/mm}^2$

current density $< 10 \text{ A/mm}^2$
 our standard: 5 A/mm^2



Cross section of copper conductor



25.06.2015

H. Leibrock: Normal Conducting FAIR Magnets

Coil shapes

Bedstead or saddle coil



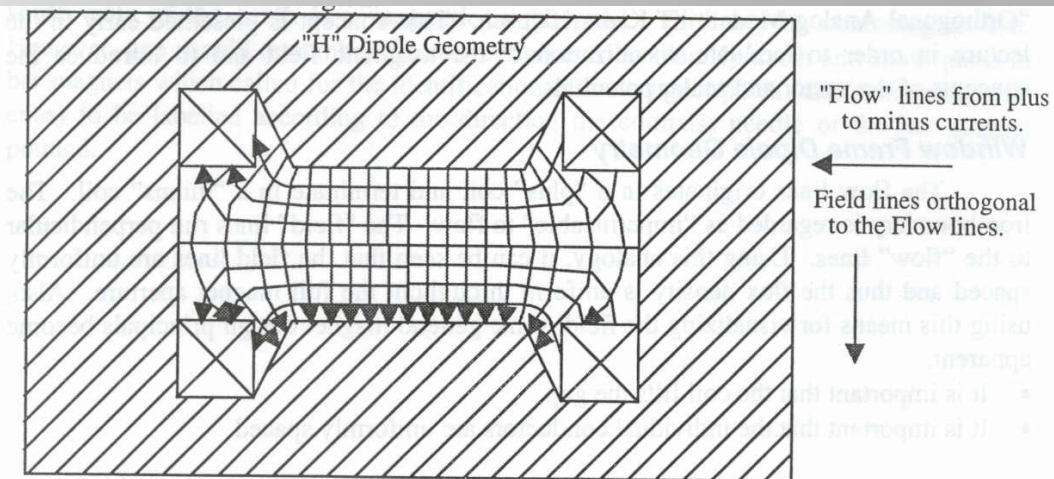
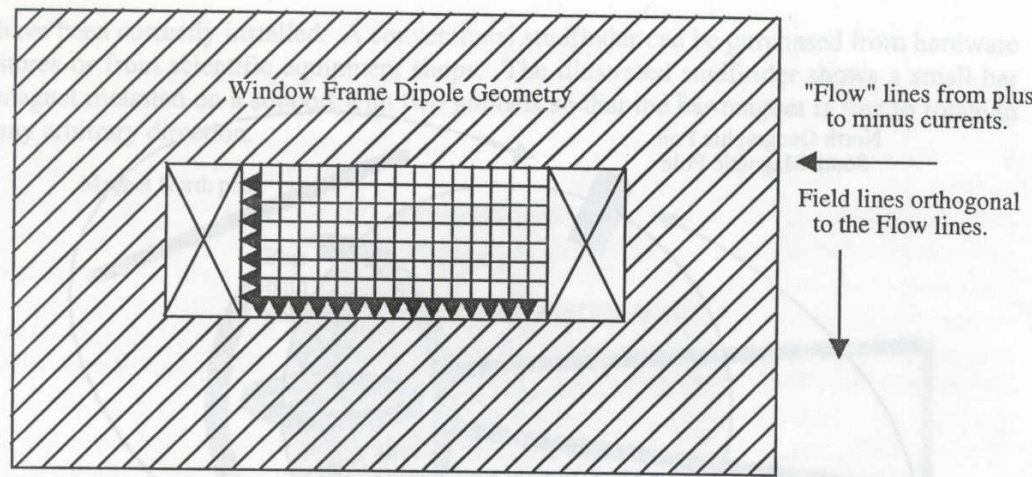
for example for
Window frame dipoles
Quadrupoles with widened
pole basis

Racetrack coil



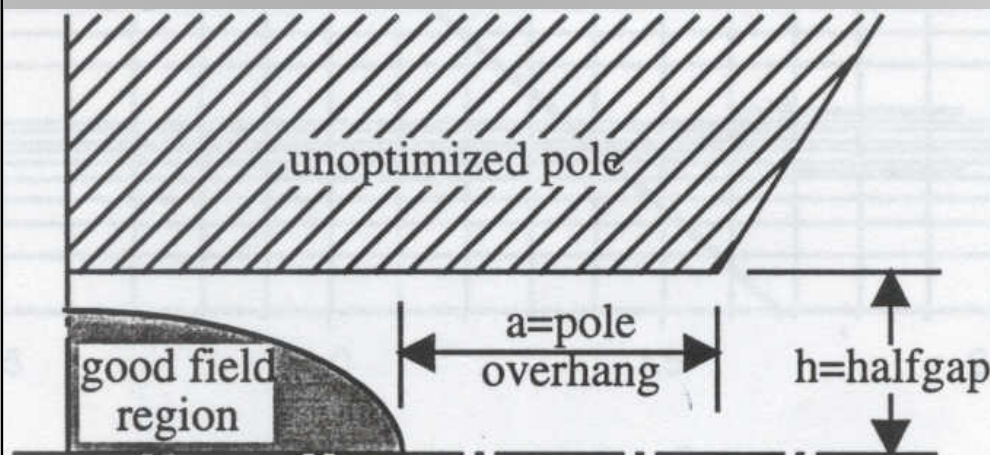
for example for
H-type dipoles
Quadrupoles without
widened pole basis

Orthogonal analog model



- ◆ For fast estimation of field quality
- ◆ Draw ‚flow lines‘ from plus to minus current
- ◆ Field lines are orthogonal to ‚flow lines‘
- ◆ In principle window frame dipole gives better field quality theoretically

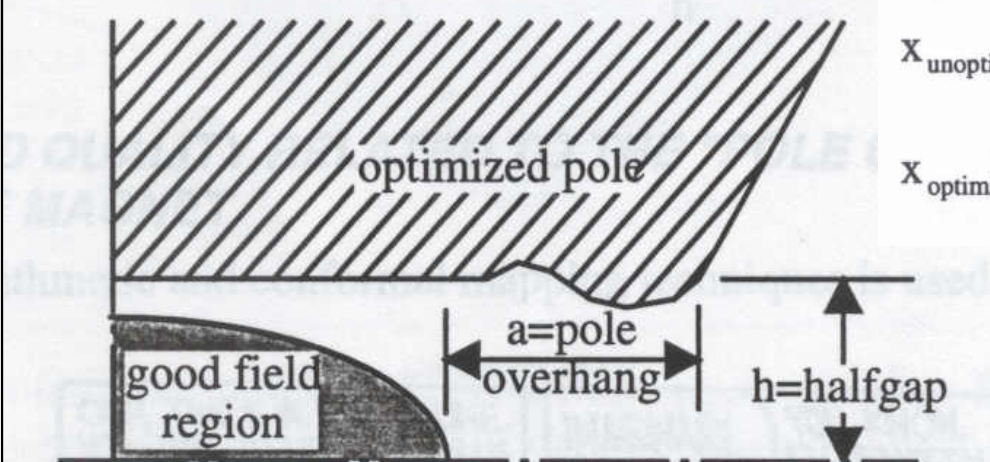
Improvement of field quality with shims



$$\left(\frac{\Delta B}{B}\right)_{\text{unoptimized}} = \frac{1}{100} \exp[-2.77(x - 0.75)]$$

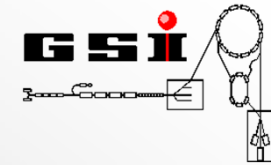
$$\left(\frac{\Delta B}{B}\right)_{\text{optimized}} = \frac{1}{100} \exp[-7.17(x - 0.39)]$$

where $x = \frac{a}{h} = \frac{\text{"pole overhang"}}{\text{half gap}}$

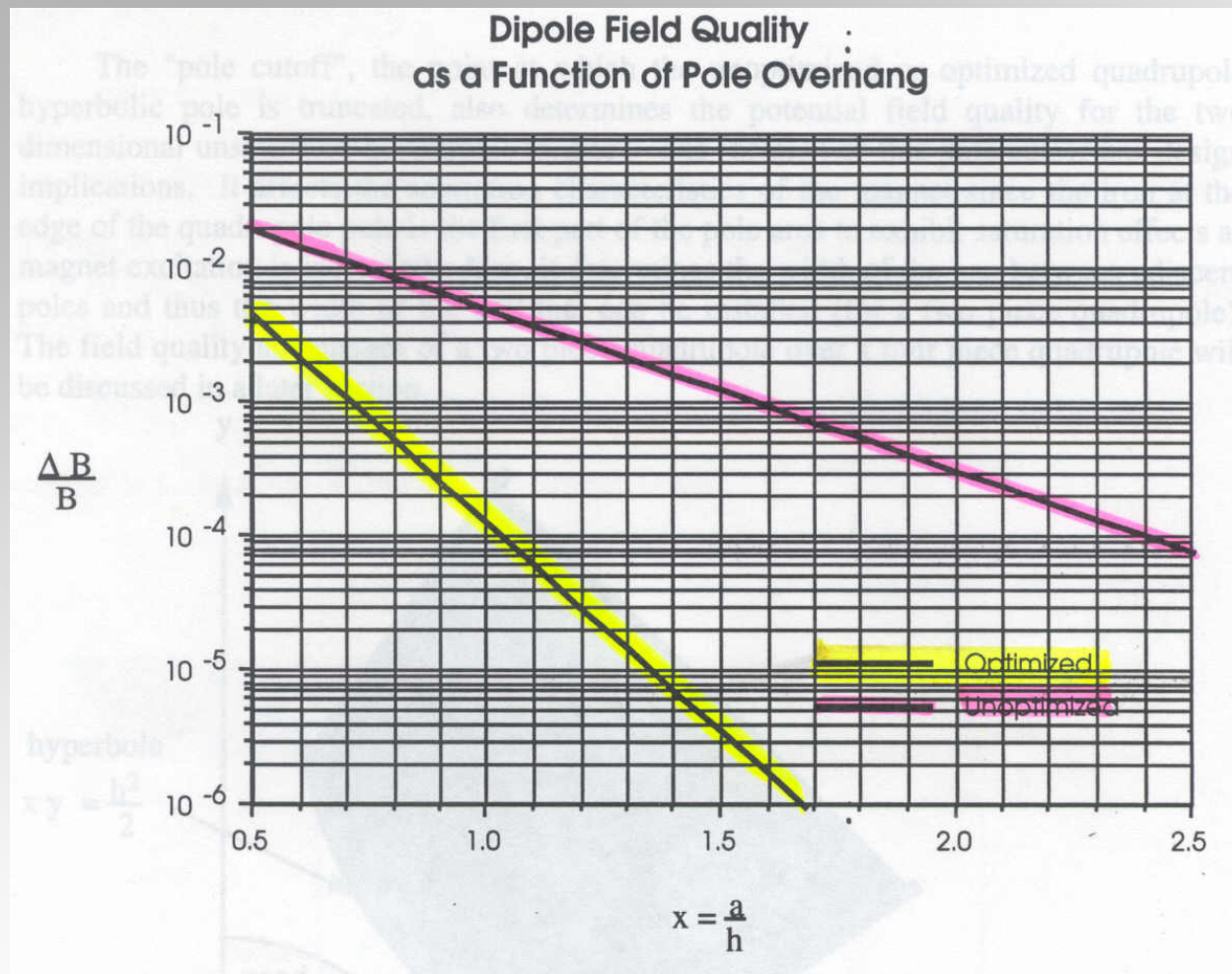


$$X_{\text{unoptimized}} = \left(\frac{a}{h}\right)_{\text{unoptimized}} = -0.36 \ln \frac{\Delta B}{B} - 0.90$$

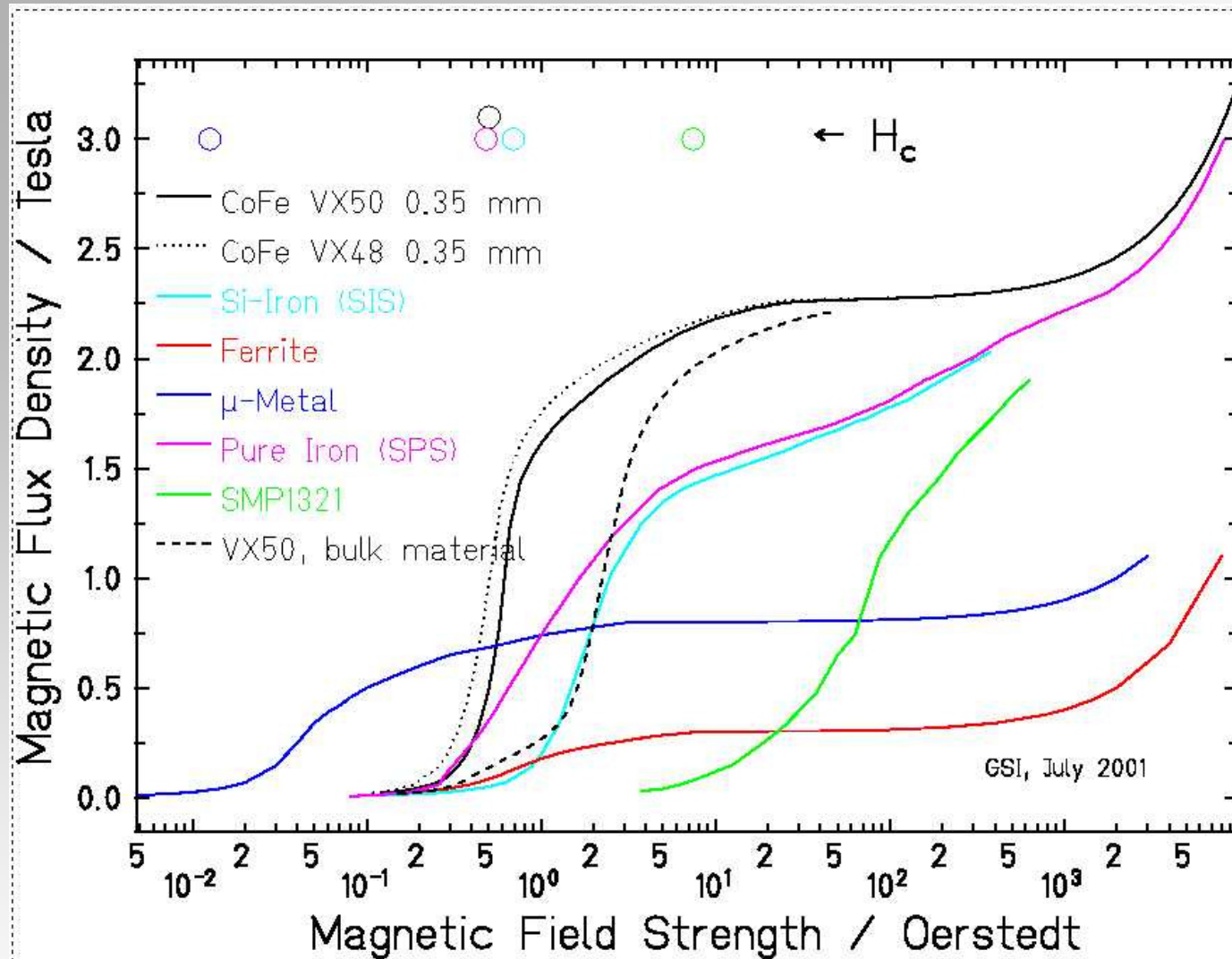
$$X_{\text{optimized}} = \left(\frac{a}{h}\right)_{\text{optimized}} = -0.14 \ln \frac{\Delta B}{B} - 0.25$$



Field quality with and without optimization

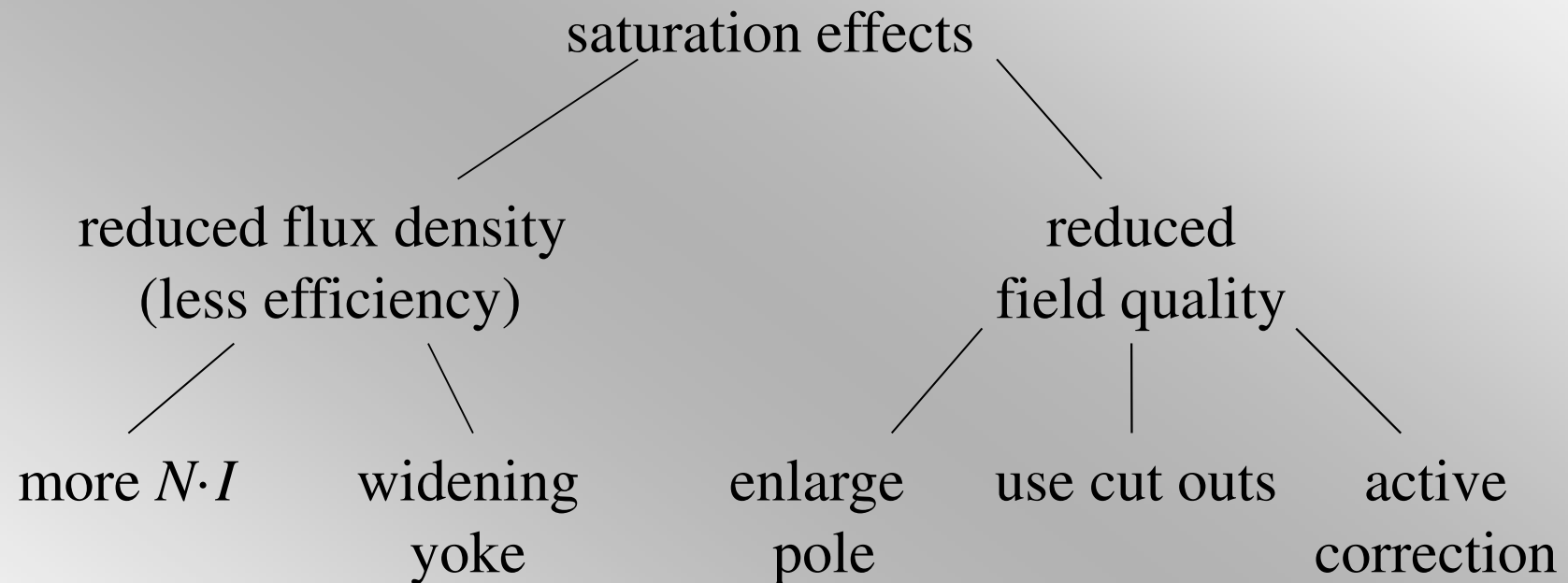


B-H-Kurven



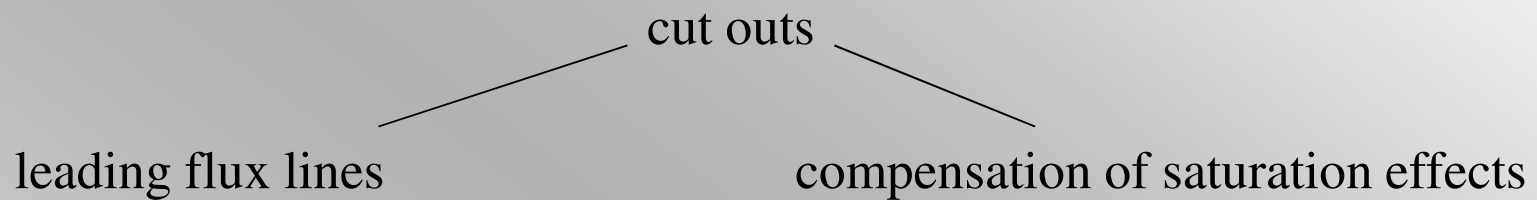
Saturation effects

◆ $\mu_r = \mu_r(B)$, for $B > 1.5$ T, μ_r is getting smaller

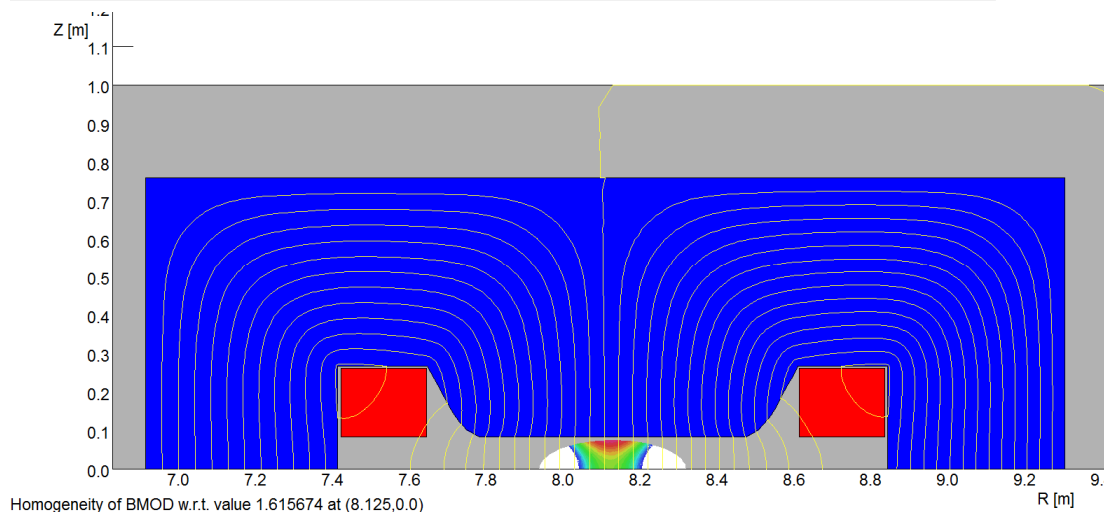
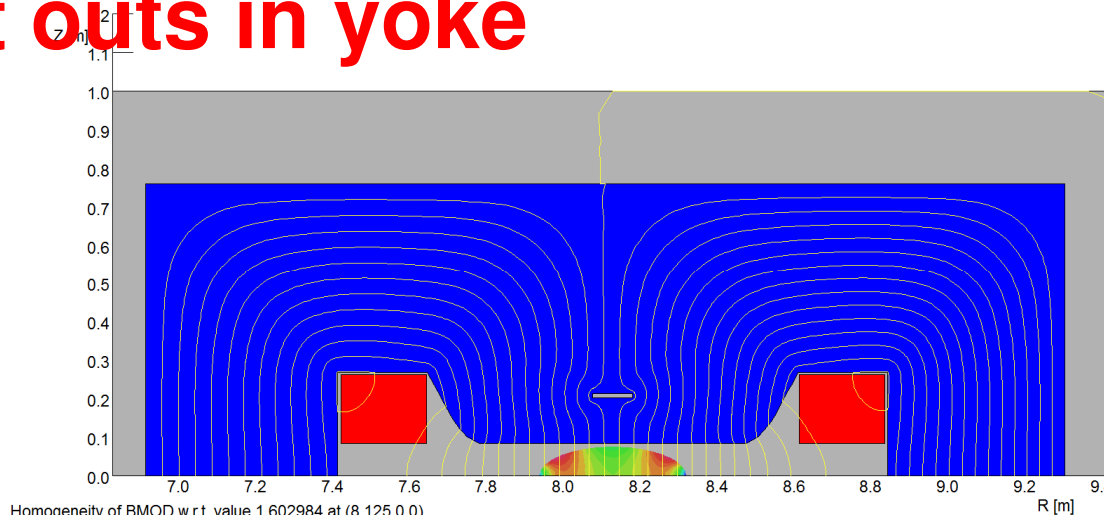


Cut outs in yoke

- ◆ Reducing influence of saturation effects on the field quality



Cut outs in yoke



UNITS

Length	: m
Magn Flux Density	: T
Magnetic Field	: A/m
Magn Vector Pot	: Wb/m
Current Density	: A/m ²
Conductivity	: S/m
Power	: W
Force	: N
Energy	: J
Mass	: kg
Pressure	: Pa

MODEL DATA
 D:\Opera\CR_dipole\Kali
 mov_dipole_August_2009
 \CRwarmdipole2009.st
 Quadratic elements
 Axi-symmetry
 Modified R²vec pot.
 Magnetic fields
 Static solution
 Case 4 of 4
 Scale factor: 1.0
 5180 elements
 10527 nodes
 10 regions

25Jun2015 13:01:24 Page 17



UNITS

Length	: m
Magn Flux Density	: T
Magnetic Field	: A/m
Magn Vector Pot	: Wb/m
Current Density	: A/m ²
Conductivity	: S/m
Power	: W
Force	: N
Energy	: J
Mass	: kg
Pressure	: Pa

MODEL DATA
 D:\Opera\CR_dipole\Kali
 mov_dipole_August_2009
 \CRwarmdipole2009_no_
 cut.st
 Quadratic elements
 Axi-symmetry
 Modified R²vec pot.
 Magnetic fields
 Static solution
 Case 4 of 4
 Scale factor: 1.0
 5196 elements
 10563 nodes
 10 regions

25Jun2015 13:28:49 Page 5



Pulsed or fast ramped magnets

dB/dt induces eddy currents. This could lead to

- ◆ reduces field quality
- ◆ reduces flux density (delay of peak field)
- ◆ could be avoided by using sinter materials (high electric resistivity but with reduced μ_r) and laminated yoke.

Ampere's circuital law:

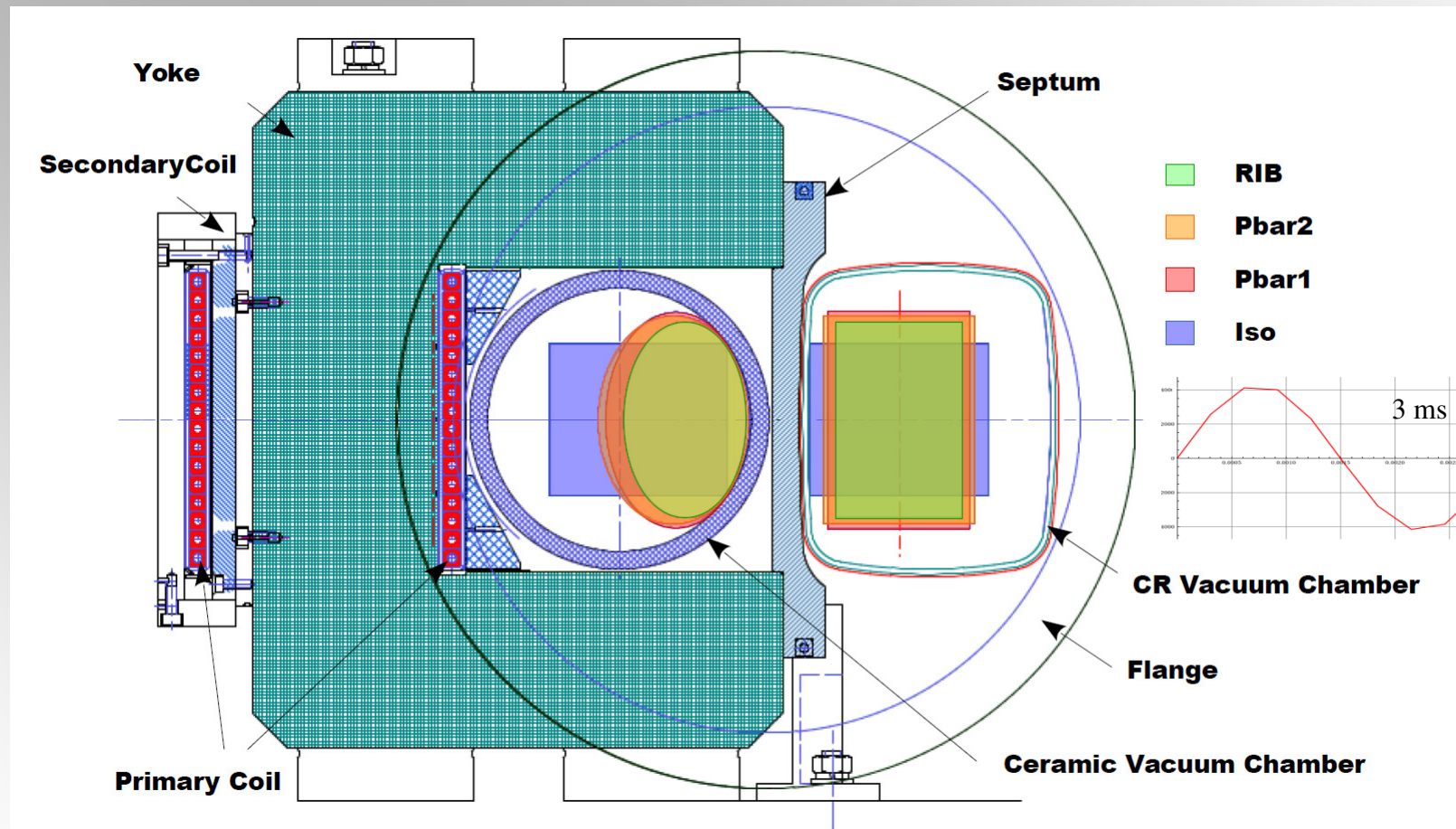
$$\oint_{\partial A} \mathbf{H} \cdot d\mathbf{s} = \int_A \mathbf{j} \cdot d\mathbf{A} + \frac{d}{dt} \int_A \mathbf{D} \cdot d\mathbf{A} \quad \text{aus} \quad \nabla \times \mathbf{H} = \mathbf{j} + \frac{\partial}{\partial t} \mathbf{D}$$

Faraday's law of induction:

$$\oint_{\partial A} \mathbf{E} \cdot d\mathbf{s} = -\frac{d}{dt} \int_A \mathbf{B} \cdot d\mathbf{A} \quad \text{aus} \quad \nabla \times \mathbf{E} = -\frac{\partial}{\partial t} \mathbf{B}$$

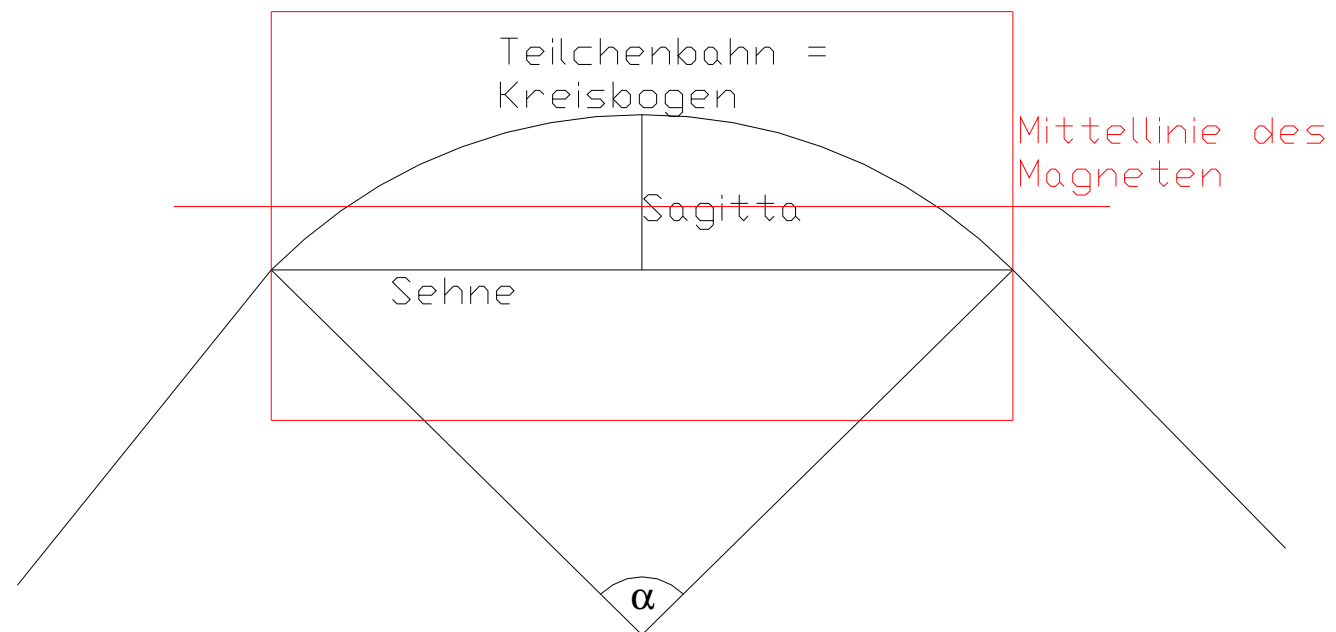
Welcome eddy currents

Pulsed CR septum magnets



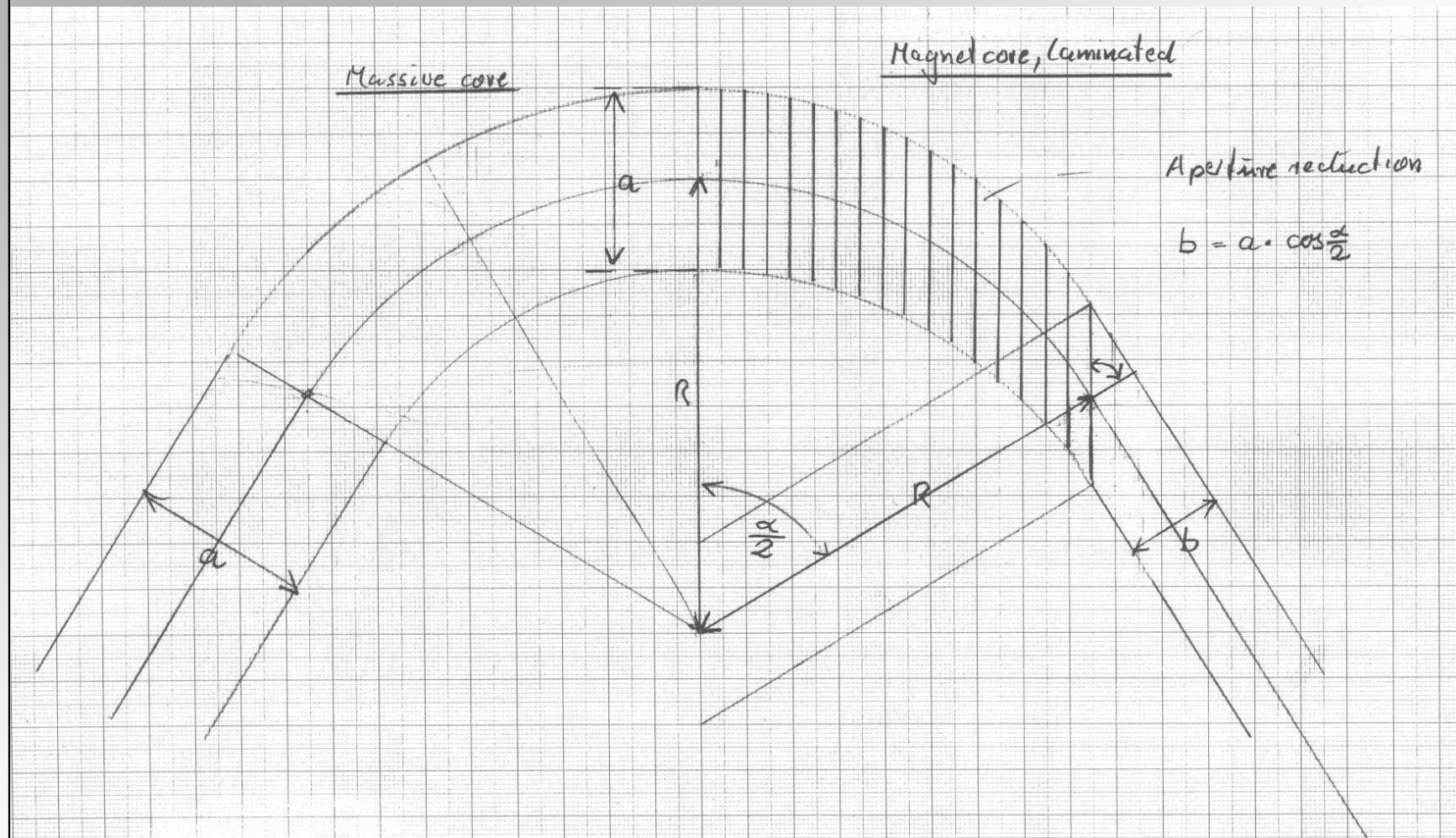
Sagitta

- ◆ Asymmetrischer Einschuss in gestreckten Magneten
- ◆ Sagitta h , Radius r , Ablenkwinl α
- ◆ Magnet muss Apertur bei h oder gebogen werden



$$h = r * (1 - \cos(\alpha / 2))$$

Aperturverlust für geblechte Magnete



◆ Lamellen werden im Bogen gestapelt => Apertur wird reduziert

Design (1/2)

◆ Requirements

- Maximum field/minimum field, effective length, bending radius, bending angle
- Aperture
- Field quality
- Ramp rate

◆ Iron blocks or laminated yoke?

- Depends on ramp rate

◆ Which type of magnet?

- Depends on field quality, flux density, environment

◆ Curved or straight dipole?

- Depends on bending angle

◆ Ampere turns

- Depends on aperture and maximum strength

Design (2/2)

- ◆ **Coil**
 - Cross section depends on $N \cdot I$
- ◆ **First draft of 2d design**
 - with $\mu_r = \text{const.}$
- ◆ **Improved 2d design**
 - Non linear 2d simulations ($\mu_r = \mu_r(B)$)
- ◆ **3d design and simulation**
 - Check of field quality
- ◆ **Making parameter table**
 - Detailing of yoke, coil, dimensions, cooling, power consumption, etc.

- ◆ **Its a iterative process.**



Example of parameter table

Construction of the Storage Ring for the FAIR project
 HSP/10/98/MA

Parameter des 15°-Magneten im gepulsten UNILAC Ladungsseparator

R. Laagebeck

Darmstadt, den 01.04.1998
 Tel.: +49 6159 71 2369
 Fax: +49 6159 71 2785

Die Tabelle zeigt die Magnetparameter (Stand vom 27.11.1997). In der von GSI festgelegten Bauweise ist eine optimale Optimierung der Jochlänge vorgesehen. Der Spulenbogen ist symmetrisch um Joch 00 und der Spulenabstand des Kupfers wird in den Spulenfenstern aufgegeben, siehe zugehörige Skizze. Für die Betriebsdaten und Pulsleistung liegen die für die Pulsleistung erforderliche Spannung ändert sich nicht. Der Nennstrom beträgt 950 A. Für die Aufkühlung von Ladungsspektren hinter dem ersten dieser Magneten sind Ströme bis 1100 A erforderlich. Ergänzt wurde eine Tabelle für die Auslegung von Demagnetierungspulen, die in einer Lage unter die Grundisolation der Hauptspulen gerichtet werden.

Es wird darauf hingewiesen, daß die Außenabmessung der Kammkehle 59,9 mm nicht überschritten darf. Das Maß 62,5 mm der Gaphöhe im Aperturzentrum muß für die Planung der verriegelten Vakuumkammern um die doppelte Schichtdicke (1,3 mm, an den Polkanten) reduziert werden.

Datenauszug des H-Magneten

Ablenkwinkel	15.000 °
Bahnradius	1.813 m
Flußdichte im Gap	1.104 T
Rampensteilheit	73.600 T/s
Traversenabstand	100.000 mm
Flußdichte im Joch	0.811 T
Jochhöhe	90.000 mm
mittlere Flußdichte im Pol	1.216 T
Polabstände	350.000 mm
Leiterschleife	62.500 mm
Leiterschleifenbreite (einschließlich Stütz)	115.000 mm
Stützweite	14.500 mm
Schichtdicke	1.300 mm
Erreichteichtbereich für AB/β	02.500 mm
Randspalt	Regelwsk. Profil
Basist	Lamellen, im Bogen gestapelt
Spaltgröße	11.233 mm
effektive Länge des Bahnbogens	344 m
effektive Magnetlänge	340 m
Baulänge des Magneten	340 m
Beute der Jochkonstruktion	725.000 mm
Stärke des Magneten	435.000 mm
Spulenfensterbreite	380.000 mm
Spulenfensterhöhe	255.000 mm
Feldhöhe	600 mm
Lamellenbreite	1.000 mm
max. Verschiebung benachb. Lamellen	132 mm
Lamellenzahl	866
Füllfaktor	0,90
Gewicht pro Blech	241 kg
Gewicht des gesamten Joches	260 t
Ausgaben-Wärmeleistung	5.000 W
gespeicherte Energie (nur Gap)	2.303 kJ
Wirbelfeldamplitude	11.965 μT
Wirbelfeld-Amplitude	7.130 G
rel. Permeabilität im Pol	0,91.046
rel. Permeabilität im Joch	0,90.871
Hysteresefläche	226.168 J/m³
eff. Permeabilität im Joch	0,91.323
Faktor für AB/β, mittl. Wert	15.300
Divisor für ΔN/μ	22.318

Jochdaten des H-Magneten

Ablenkwinkel	15.000 °
Bahnradius	1.813 m
Flußdichte im Gap	1.104 T
Rampensteilheit	73.600 T/s
Traversenabstand	100.000 mm
Flußdichte im Joch	0.811 T
Jochhöhe	90.000 mm
mittlere Flußdichte im Pol	1.216 T
Polabstände	350.000 mm
Leiterschleife	62.500 mm
Leiterschleifenbreite (einschließlich Stütz)	115.000 mm
Stützweite	14.500 mm
Schichtdicke	1.300 mm
Erreichteichtbereich für AB/β	02.500 mm
Randspalt	Regelwsk. Profil
Basist	Lamellen, im Bogen gestapelt
Spaltgröße	11.233 mm
effektive Länge des Bahnbogens	344 m
effektive Magnetlänge	340 m
Baulänge des Magneten	340 m
Beute der Jochkonstruktion	725.000 mm
Stärke des Magneten	435.000 mm
Spulenfensterbreite	380.000 mm
Spulenfensterhöhe	255.000 mm
Feldhöhe	600 mm
Lamellenbreite	1.000 mm
max. Verschiebung benachb. Lamellen	132 mm
Lamellenzahl	866
Füllfaktor	0,90
Gewicht pro Blech	241 kg
Gewicht des gesamten Joches	260 t
Ausgaben-Wärmeleistung	5.000 W
gespeicherte Energie (nur Gap)	2.303 kJ
Wirbelfeldamplitude	11.965 μT
Wirbelfeld-Amplitude	7.130 G
rel. Permeabilität im Pol	0,91.046
rel. Permeabilität im Joch	0,90.871
Hysteresefläche	226.168 J/m³
eff. Permeabilität im Joch	0,91.323
Faktor für AB/β, mittl. Wert	15.300
Divisor für ΔN/μ	22.318

Daten des Spulensystems

Windungszahl, gesamt	60
Spulenanzahl	5
Selbstinduktivität, gesamt	12 mH
Kühlwasserdurchfluß, gesamt	6
Strom	950.898 A
Spulenbreite	65.000 mm
hew.	81.000 mm
Spulenlänge	81.000 mm
horiz. Abstand vom Pol	40.000 mm
vertik. Abstand vom Fenster	6.500 mm
seitl. Abstand vom Pol	6.500 mm
Abstand der Spulen	80.000 mm
Leiterabstand	300 mm
Grundisolation	1.500 mm
Leiterhöhe	12.000 mm
Durchmesser des Kühlkanals	2.000 mm
Kühlwasserdurchfluß	2.000 mm
Leiterquerschnitt	120.931 mm²
Stromdichte	7.946 A/mm²
mittlere Spulenabstand	1.456 m
Widerstand	12.137 mΩ
mittlere Verlustleistung	12.176 kW
Kühlwasserbedarf	11.839 l/min
bei: Tastverhältnis	100.000 %
bei: Rampenanstieg um	73.600 T/s
und für Druckdifferenz von	15.000 °C
Wärmeabfuhr	1.459 W/m²
Stromausgleichswiderstand	1.654 mΩ
Wärmeabfuhr	387 W/cm²
Leiterflächfaktor	65.967 %
Leitergewicht	0,95 t

Betriebsdaten

Strom	950.898 A
Stromanstieg	64.060 kA/s
Widerstand	12.137 mΩ
Grund-Induktivität	5.200 mH
dc-Spannung	12.671 V
ac-Spannung	322.352 V
dc-Verlustleistung	12.176 kW
Wirbelstromverluste, Spule und Magnet, auf der Rampe	1.112 kW
Hystereseverlust, pro Zyklus	16.412 J
Rampendauer	10.000 ms
Zyklusdauer	***** ms
Tastverhältnis	100.000 %
mittlere Verluste	12.176 kW
maxim. Verlust, Rampenende	12.289 kW
Gesamtspannung, Rampenende	365.623 V
gespeicherte Energie (Gap)	2.303 kJ

Demagnetisierungspulen

Anzahl	2
Position: unter die Grundisolation der Hauptspule gerichtet	
Windungszahl pro Spule	16
Zellenzahl	1
Strom	5.500 A
Feldhub	35.000 Gauss
Leiterbreite	4.000 mm
Leiterhöhe	2.000 mm
Kupferquerschnitt	7.637 mm²
Leiterschleife	6.110 mm
mittlere Spulenabstand	1.456 m
Spulenbreite	65.000 mm
Widerstand (21 Windungen)	0.119 Ω
Spannung	0.660 V
Leistung	3.600 W
Gewicht pro Spule	1.955 kg

dc-Betrieb für Ladungsspektren

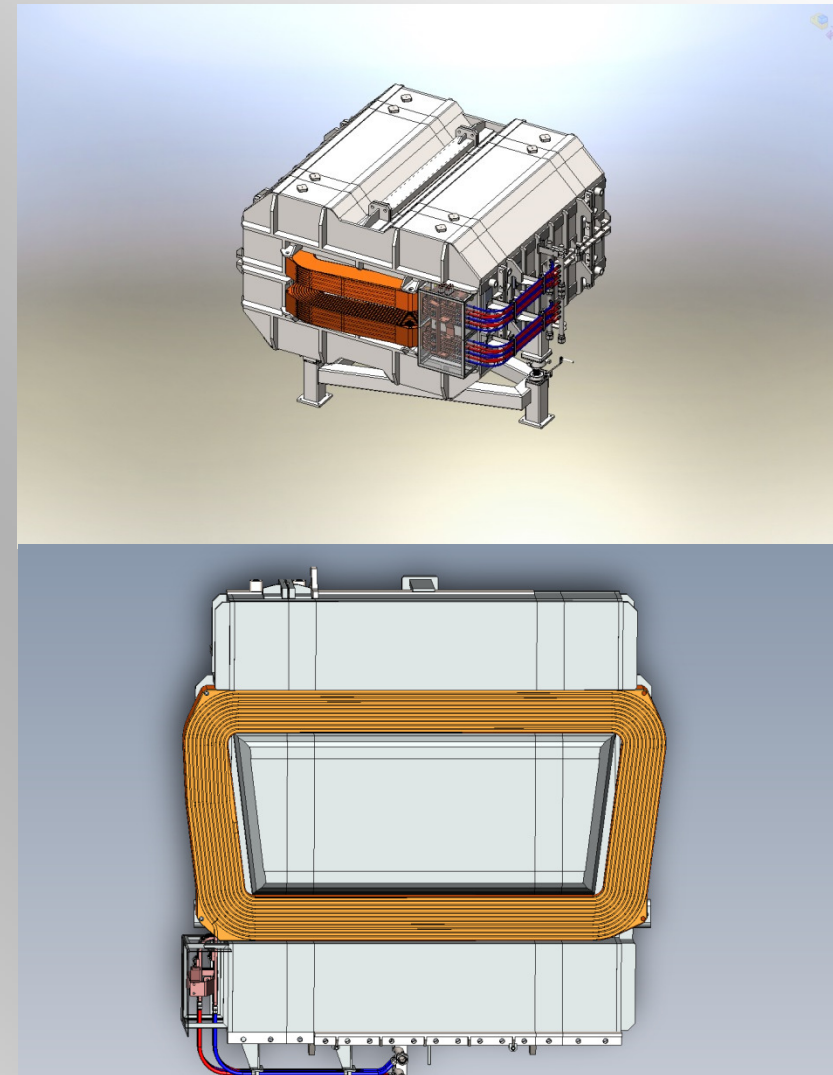
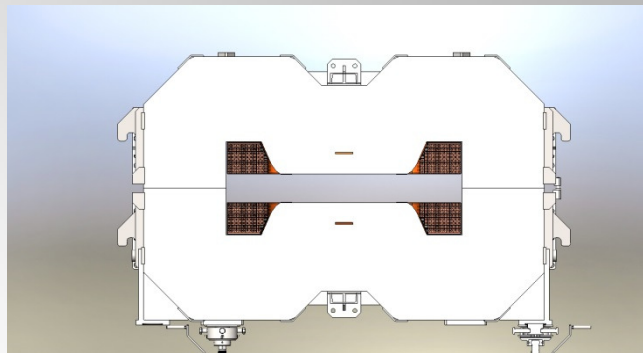
Flußdichte in der Apertur	1.265 T
Flußdichte im Joch	1.623 T
Strom	1100.000 A
Stromanstieg	0.000 kA/s
Widerstand	13.137 mΩ
Grund-Induktivität	5.200 mH
dc-Spannung	14.672 V
ac-Spannung	0.000 V
dc-Verlustleistung	9.402 kW
Wirbelstromverluste, Spule und Magnet, auf der Rampe	0.000 kW
Zyklusdauer	16.413 J
Hystereseverlust, pro Zyklus	0.000 kJ
Rampendauer	***** ms
Tastverhältnis	100.000 %
mittlere Verluste	16.102 kW
maxim. Verlust, Rampenende	16.102 kW
Gesamtspannung, Rampenende	14.672 V
gespeicherte Energie (Gap)	2.306 kJ
Kühlwasserbedarf	12.658 l/min
bei: Tastverhältnis	100.000 %
bei: Rampenanstieg um	0.000 T/s
und für Druckdifferenz von	15.000 °C
Stromausgleichswiderstand	2.706 mΩ
Wärmeabfuhr	2.317 W/cm²
Leitergewicht	1.173 W/cm²



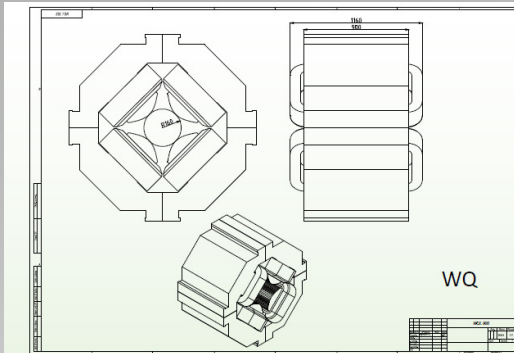
More examples

CR Dipole

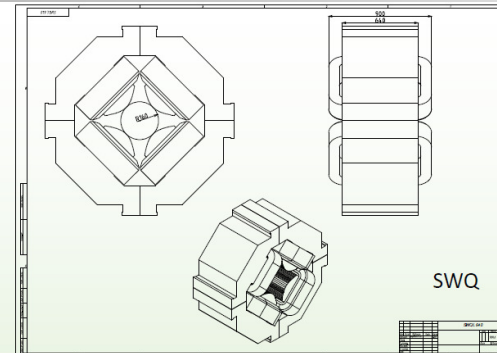
- ◆ H-type
- ◆ Sector magnet
- ◆ Weight: ca. 60 tons
- ◆ Flux density within gap: 1.6 T
- ◆ Bedinge angle 15°
- ◆ Bending radius 8.125 m
- ◆ Integral field non-uniformity
 $\Delta \int B \, dl / \int B \, dl = \pm 1 \cdot 10^{-4}$
- ◆ Aperture $380 \times 140 \text{ mm}^2$



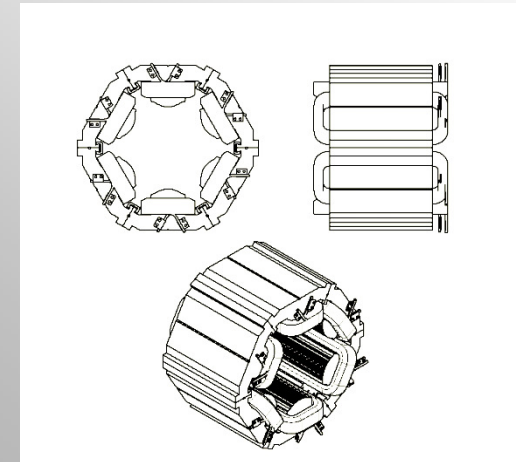
Other not mentioned CR magnets



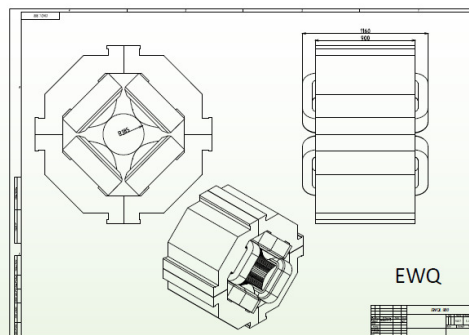
Maximal integral gradient $G_{\max} \cdot l_{\text{eff}}$ (T)	4.7	Overall yoke width / height (m)	1.6
Effective magnet length l_{eff} (m)	1	Total weight (to)	10.6
Inscribed radius (mm)	160	Current (A)	1470
Total magnet length (m)	1.16	Power consumption (kW)	57



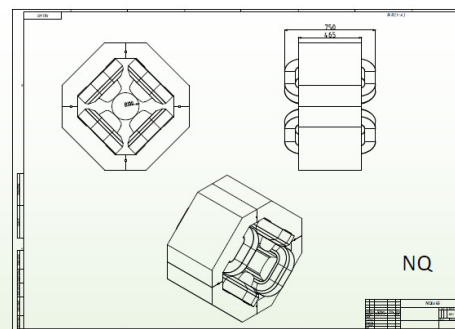
Maximal integral gradient $G_{\max} \cdot l_{\text{eff}}$ (T)	3.29	Overall yoke width / height (m)	1.6
Effective magnet length l_{eff} (m)	0.7	Total weight (to)	6.7
Inscribed radius (mm)	160	Current (A)	1480
Total magnet length (m)	0.9	Power consumption (kW)	47.5



Aperture radius – 201 mm
 Sextupole strength – 10 T/m²
 Field homogeneity (in radius 190 mm) $\pm 5 \times 10^{-3}$
 Yoke length – 500 mm
 Current – 500 A
 Usable aperture $\pm 215 / \pm 90$ mm
 Power – 8,75 kW
 Total weight – 1350 kg
 Total length with coils – 629 mm
 Overall width – 884 mm
 Overall height – 807 mm
 Copper bar – 10x10 mm²
 with hole $\varnothing 5$ mm



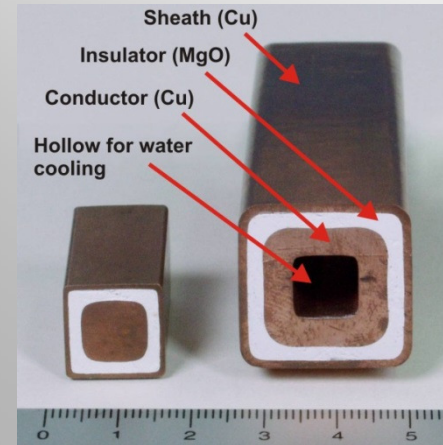
Maximal integral gradient $G_{\max} \cdot l_{\text{eff}}$ (T)	3.5	Overall yoke width / height (m)	1.6
Effective magnet length l_{eff} (m)	1	Total weight (to)	10.2
Inscribed radius (mm)	185	Current (A)	1380
Total magnet length (m)	1.16	Power consumption (kW)	50.1



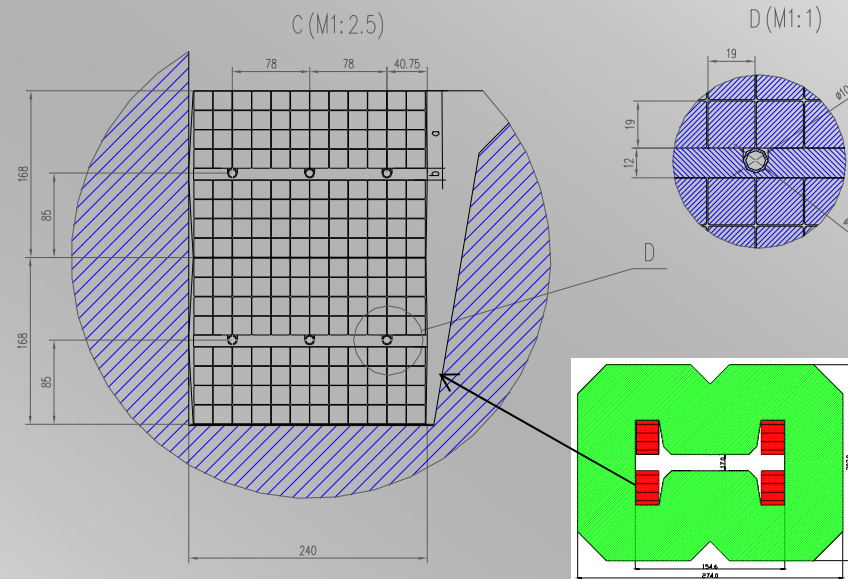
Maximal integral gradient $G_{\max} \cdot l_{\text{eff}}$ (T)	3.1	Overall yoke width / height (m)	0.88
Effective magnet length l_{eff} (m)	0.545	Total weight (to)	1.2
Inscribed radius (mm)	100	Current (A)	1210
Total magnet length (m)	0.75	Power consumption (kW)	14.8

Normal Conducting FAIR Magnets

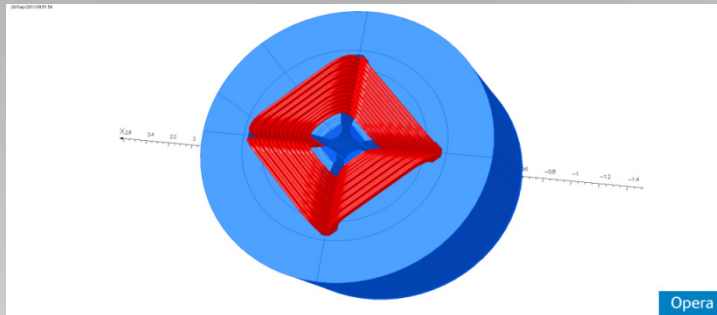
Radiation resistant Super-FRS Dipole



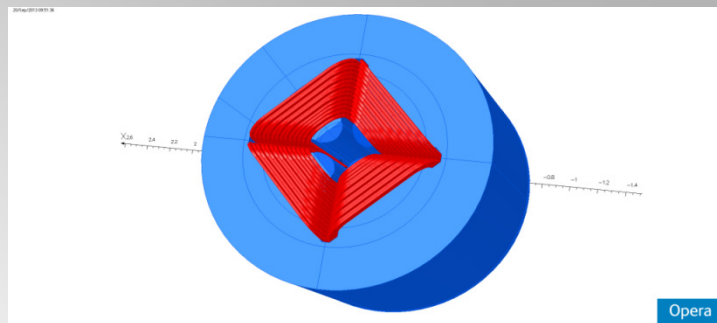
MgO is hygroscopic



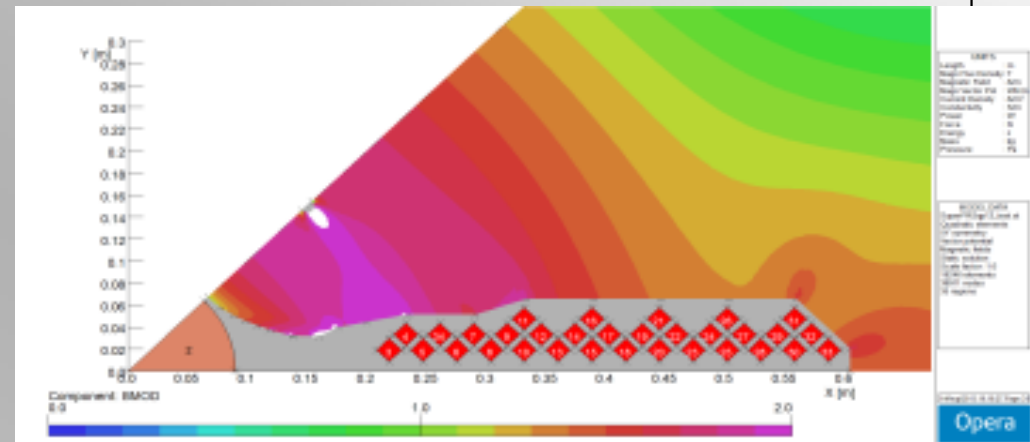
Radiation resistant Super-FRS Quadrupoles



Opera



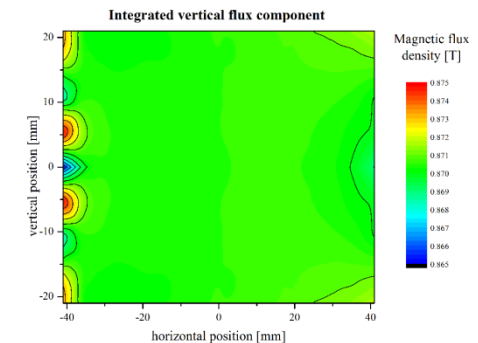
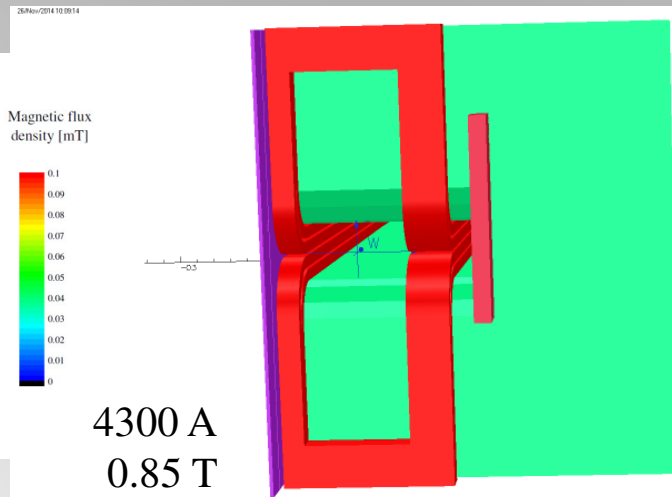
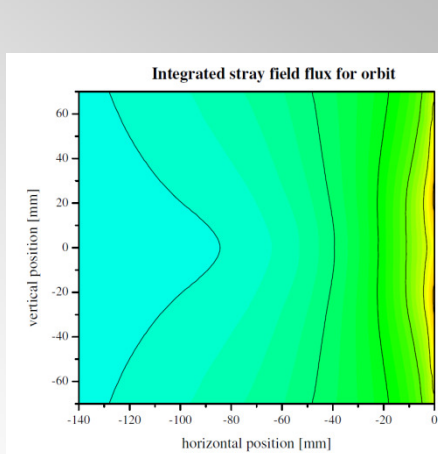
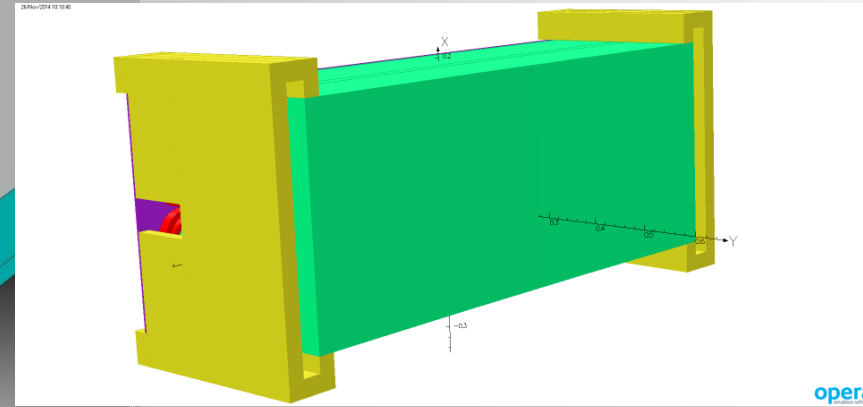
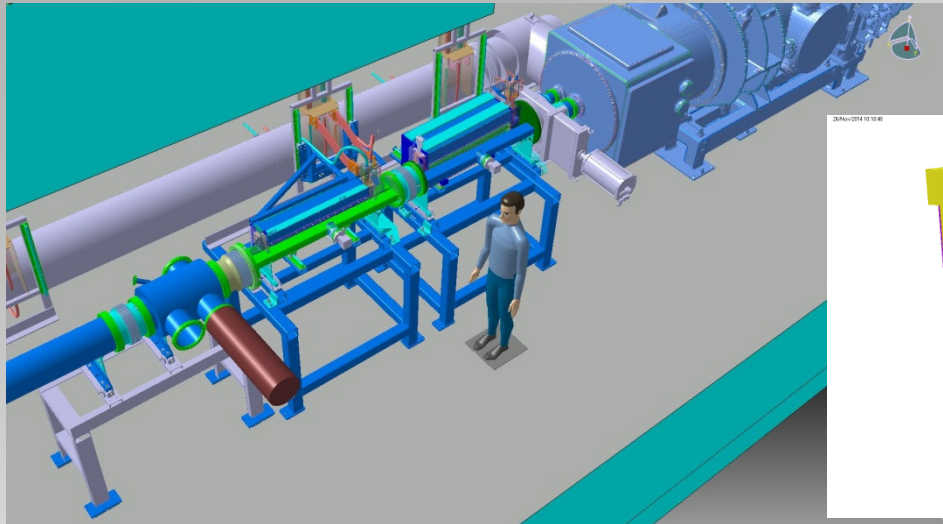
Opera



Opera

PSP code	Magnet	Pole gap (mm)	Dimension (m) (x,y,z)	Max. current	inductance (mH)	Resistance (mOhm)	Total weight (tons)	Power (kw)	Flow rate (l/min)
2.4.2.1.1	Dipole 1	180	3.2 / 3.0 / 2.1	640	2100	300	96	121	72
2.4.2.2.1	Quadrupole 1a	70	1.186/1.80/1.80	981	72	49	20.2	47	27
2.4.2.2.1	Quadrupole 1b	95	1.149/1.80/1.80	1408	80	59	26.6	116	67
2.4.2.2.2	Quadrupole 2	163	1.34/1.50/1.50	1944	57	43	18.3	163	94
2.4.2.3.1	Sextupole 1	195	0.84 / 1.6 / 1.6	1800	20	27	6	86	50

SIS 100 Septum 1

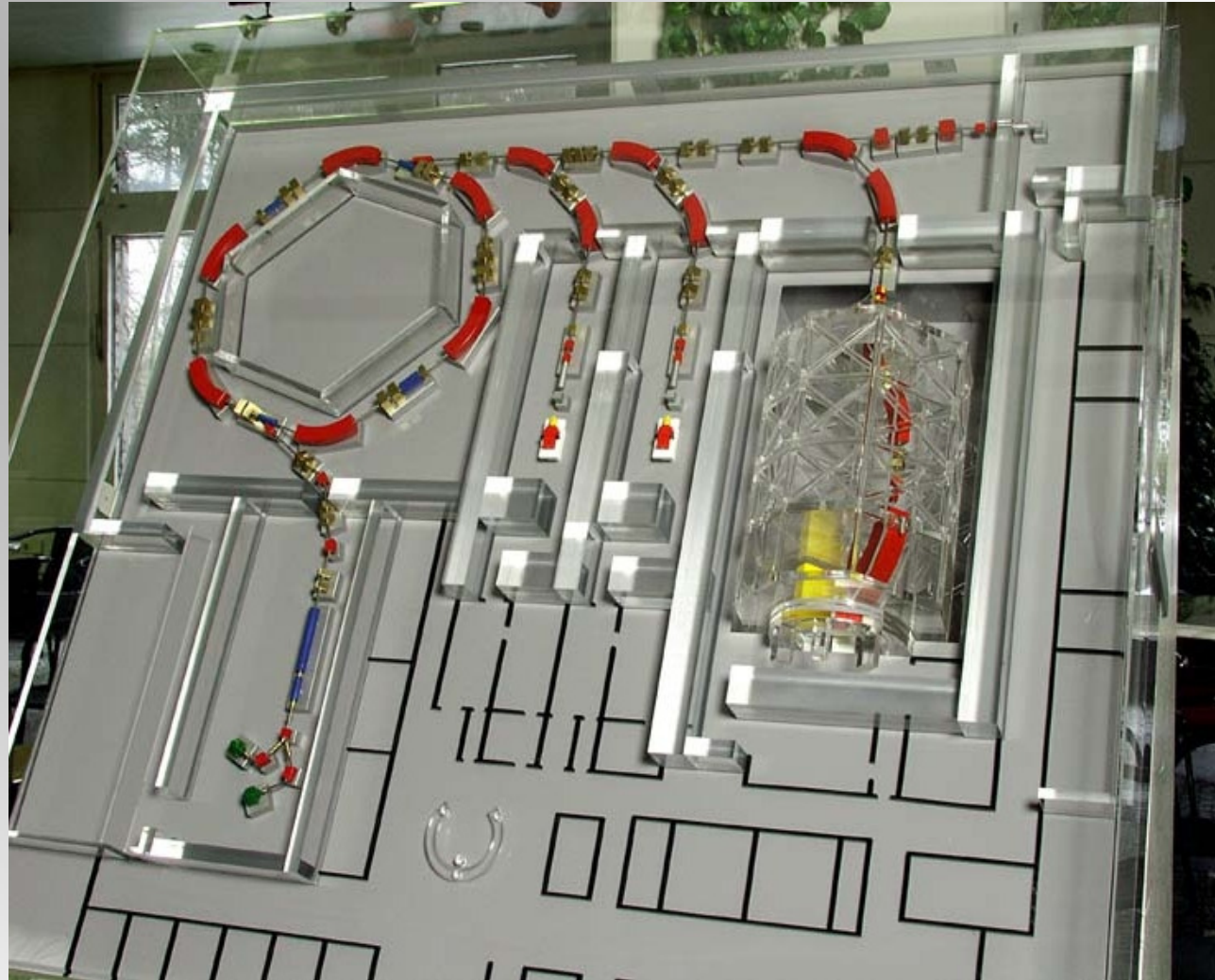


Some Numbers

- ◆ more than 100 different types of NC-magnets
- ◆ each magnet type must be designed and specified
- ◆ number of NC-magnets (without experiments): > 630
- ◆ estimated sum of costs: ca. 70 million Euro

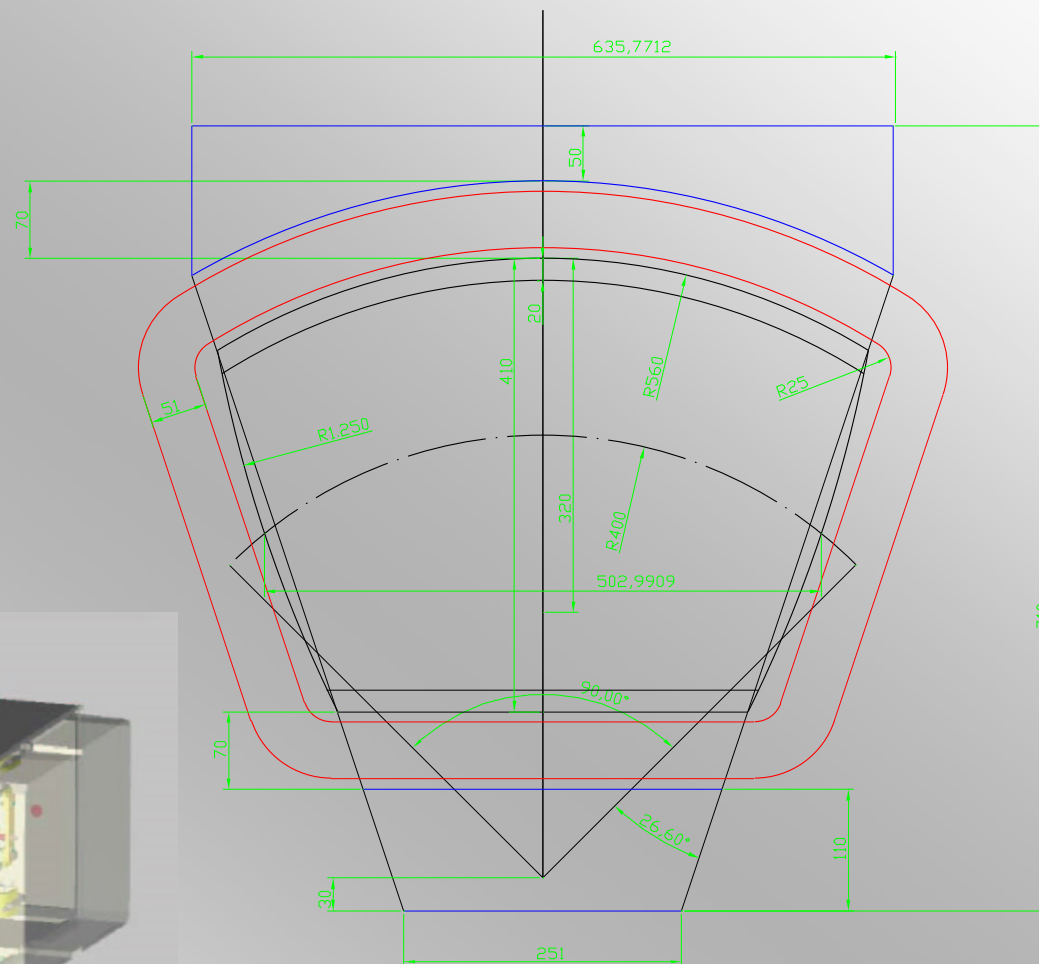
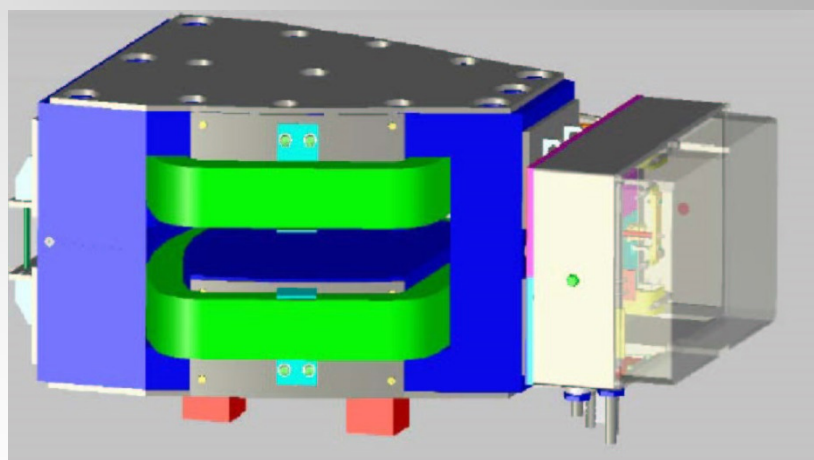
Magnete HIT (Heidelberger Ionentherapie)

- ◆ Dedizierte Anlage für die Tumortherapie mit Ionen in Heidelberg
- ◆ Entwickelt von der GSI
- ◆ Inbetriebnahme des Beschleunigers durch GSI
- ◆ Erste Patientenbestrahlung Ende 2009
- ◆ Kommerzielle Anlagen im Bau bzw. in Inbetriebnahme
- ◆ Weitere Anlagen in Planung



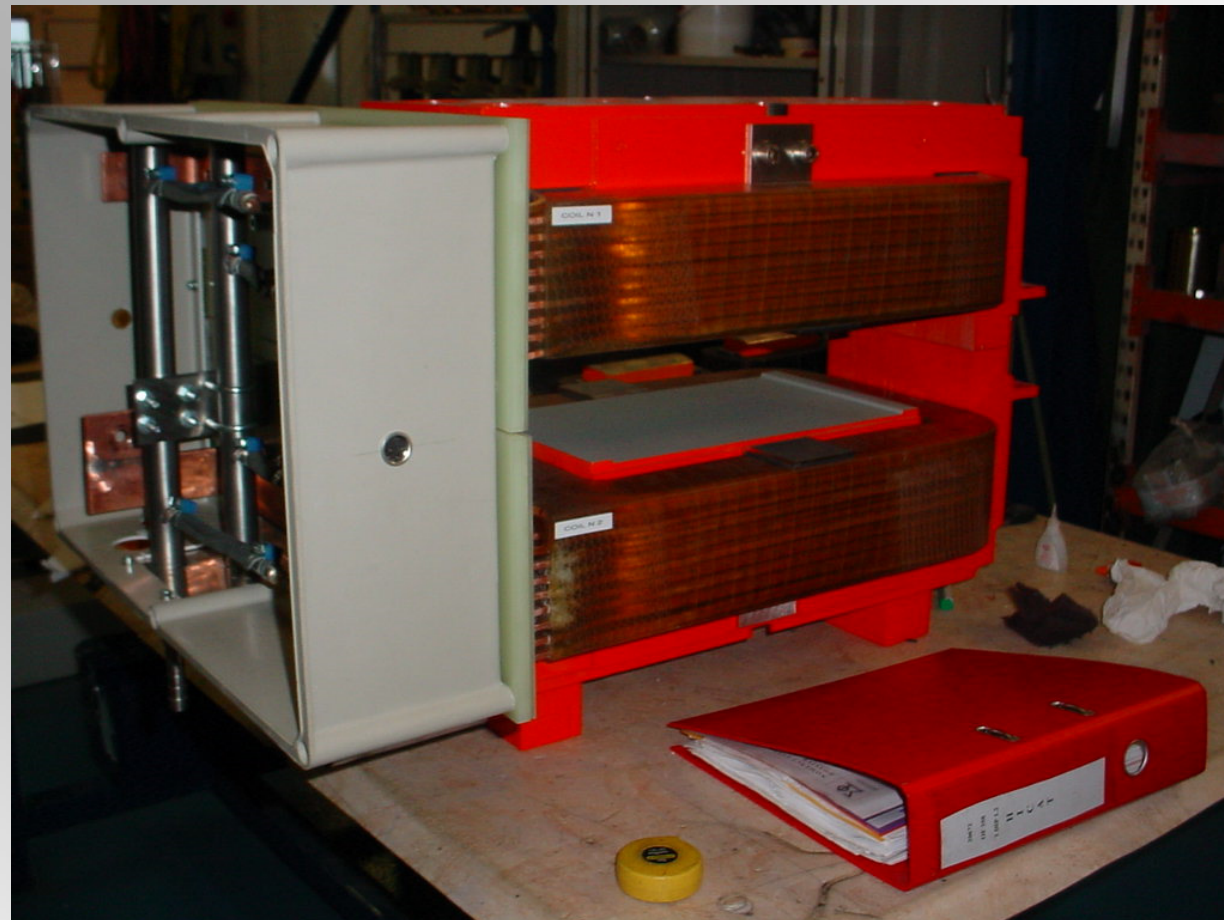
Analysierdipol

- ◆ H-Magnet
- ◆ D-förmig
- ◆ Polradius
- ◆ 0.2T



Schaltdipol

- ◆ H-Magnet
- ◆ Gestreckt
- ◆ 0.1T

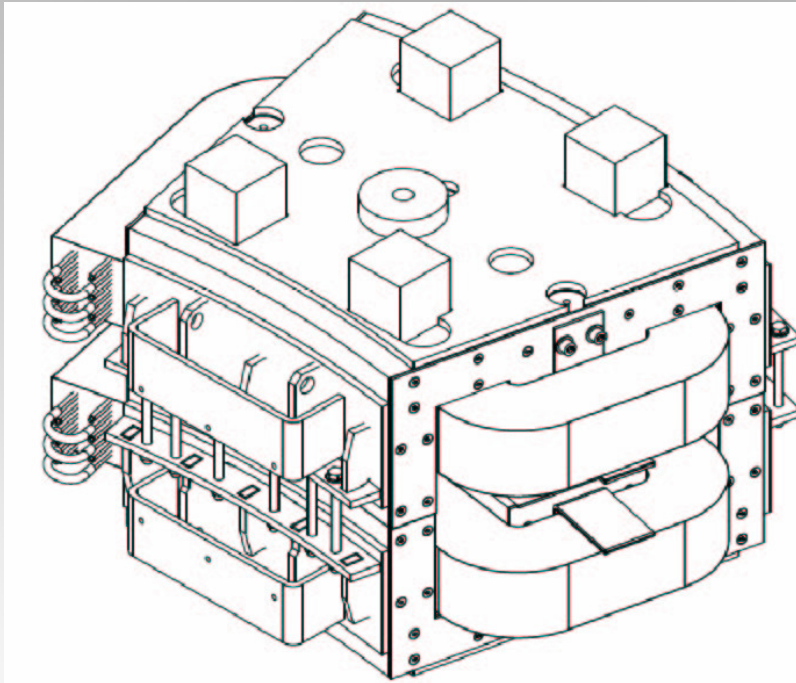


25.06.2015

H. Leibrock: Normal Conducting FAIR Magnets

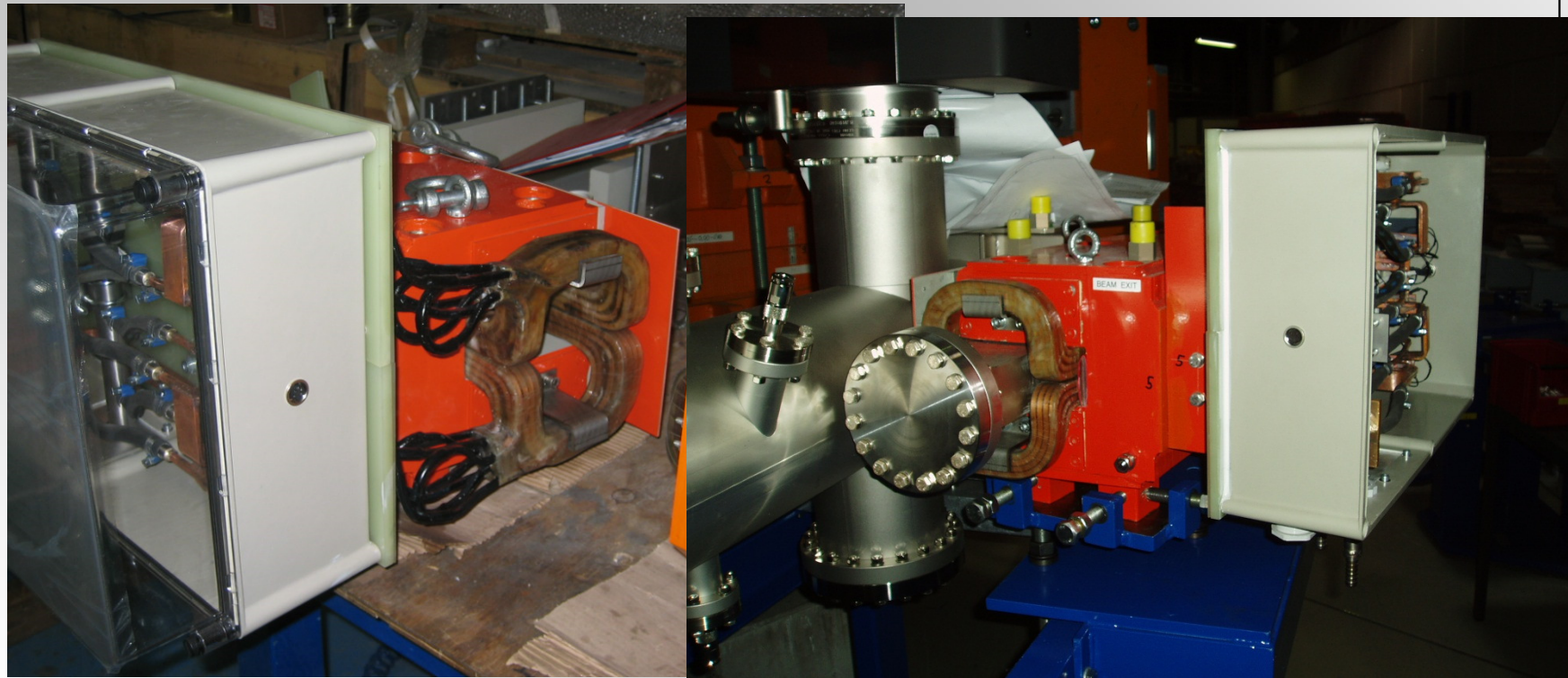
MEBT-Dipol (Medium Energy Beam Transport)

- ◆ H-Magnet
- ◆ Gebogen
- ◆ 0.57T



Inflektor

- ◆ Window-Frame-C-Magnet
- ◆ Gebogen
- ◆ 0.42T

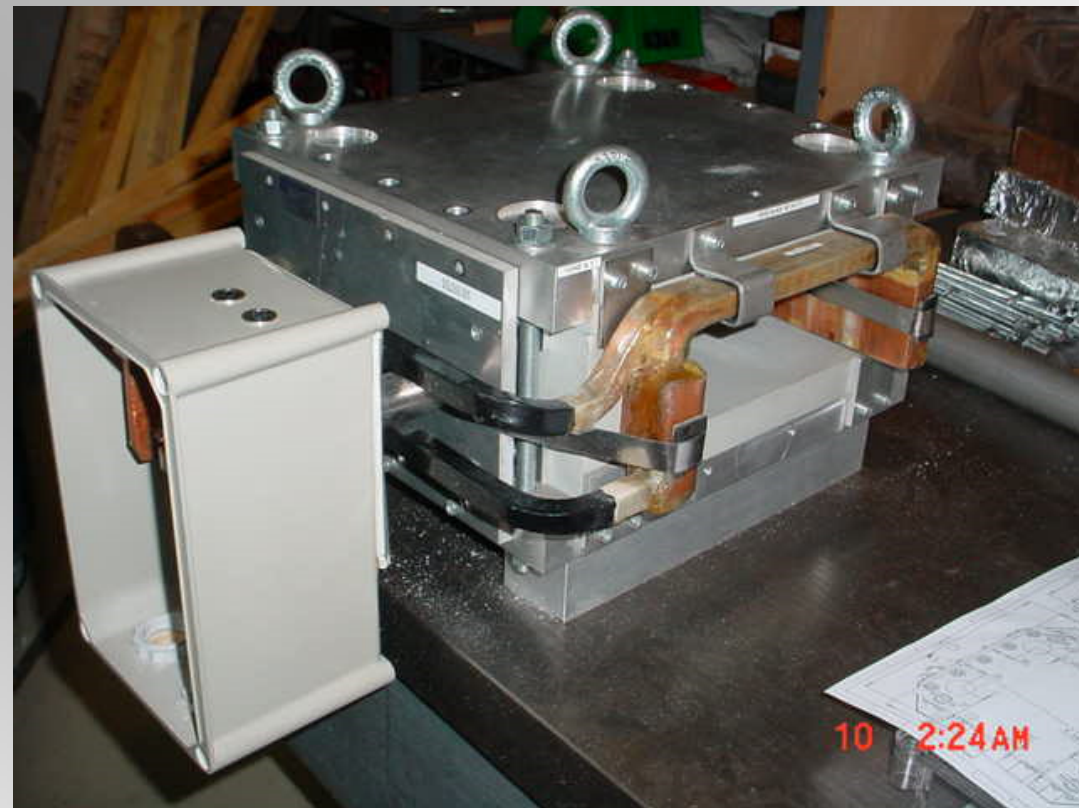


25.06.2015

H. Leibrock: Normal Conducting FAIR Magnets

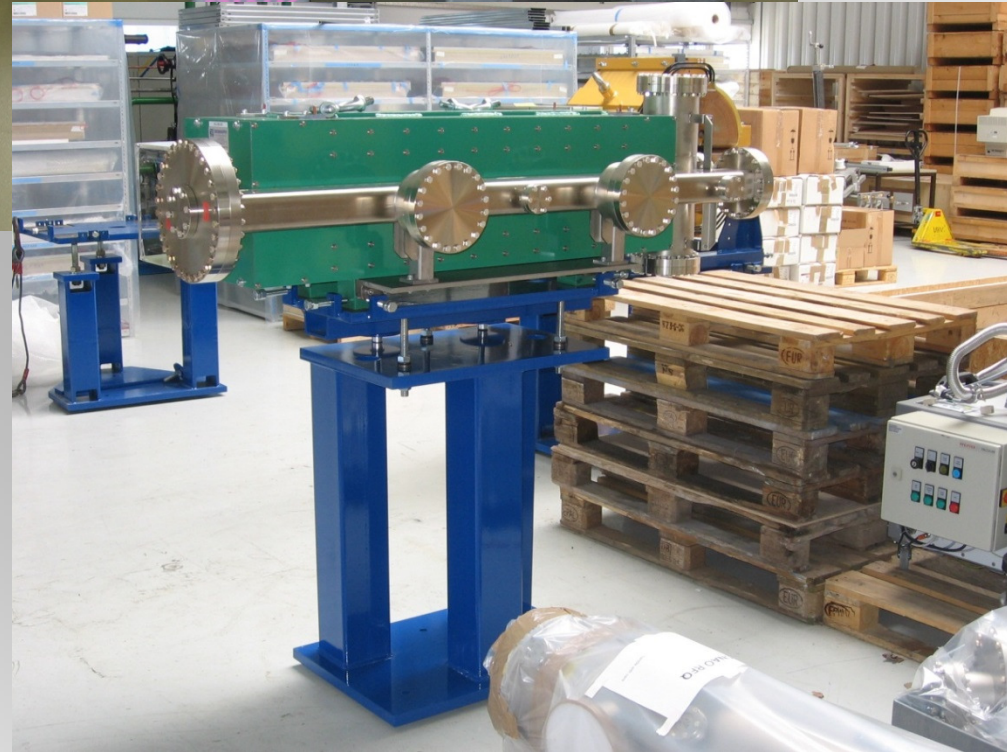
Bumper

- ◆ Window-Frame-Magnet
- ◆ Sehr schnell:
 - Joch aus Sintermaterial
 - Nur 2 Windungen
- ◆ 0.0195T



Septum I

- ◆ Window-Frame-C-Magnet
- ◆ Gestreckt mit Knick
- ◆ Septum
 - Trennt Bereiche mit konstantem Feld von feldfreien Bereichen
 - Geringe Spulenbreite an der Schneide
 - Spule aus Einzelteilen zusammengelötet
- ◆ 0.75T



Septum II

- ◆ Window-Frame-C-Magnet
- ◆ Gebogen
- ◆ Septum
 - Geringe Spulenbreite an der Schneide
 - Spule aus Einzelteilen zusammengelötet
- ◆ Betrieb in Serie mit Synchrotron-Dipolen
- ◆ 0.9T



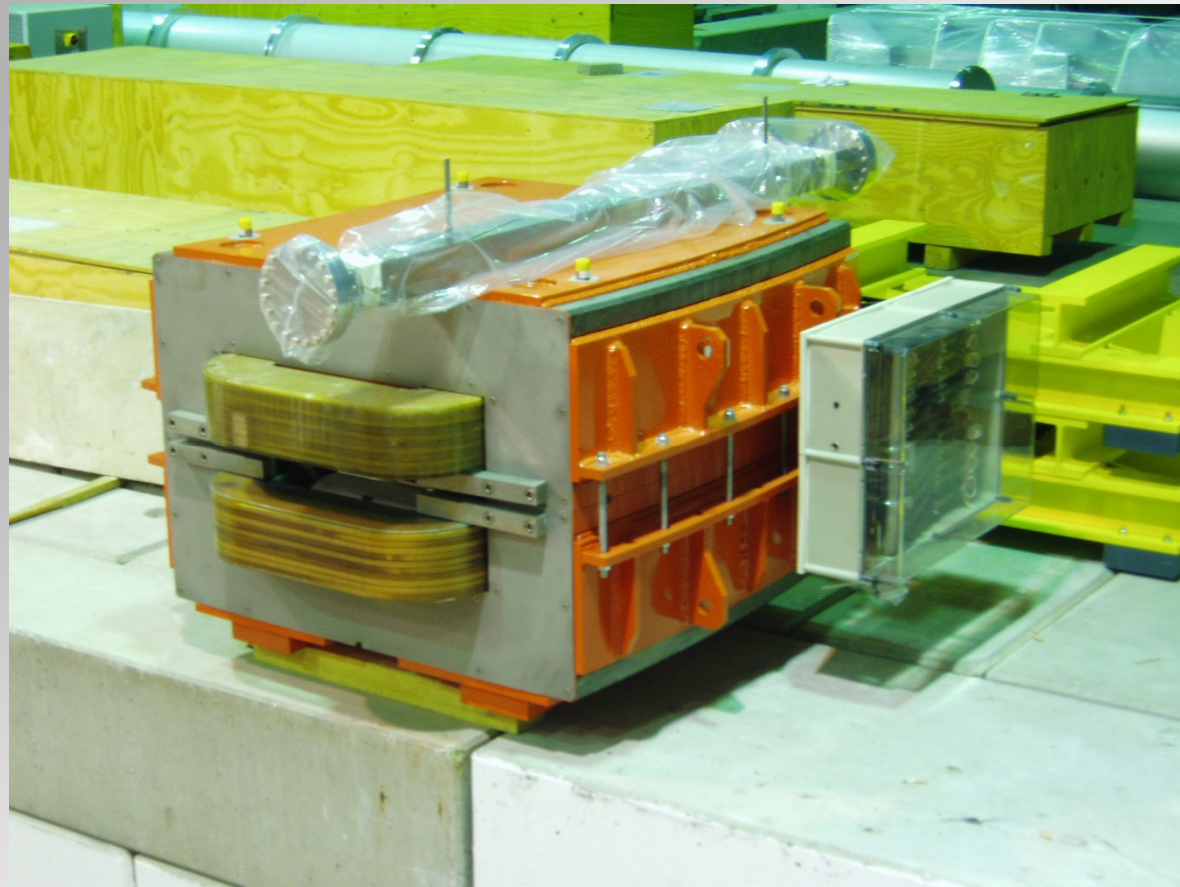
Synchrotron-Dipol



- ◆ H-Magnet
- ◆ Gebogen
- ◆ Demontierbare Endplatten für Längenschimming
- ◆ Korrekturwindung integriert
⇒ Horizontalsteerer
- ◆ 1.53T

15°-HEBT-Dipol (High Energy Beam Transport)

- ◆ H-Magnet
- ◆ Gebogen
- ◆ Gleicher Querschnitt wie der folgende Magnet
- ◆ Nullfeldspule für geraden Durchschuss integriert
- ◆ 1.51T



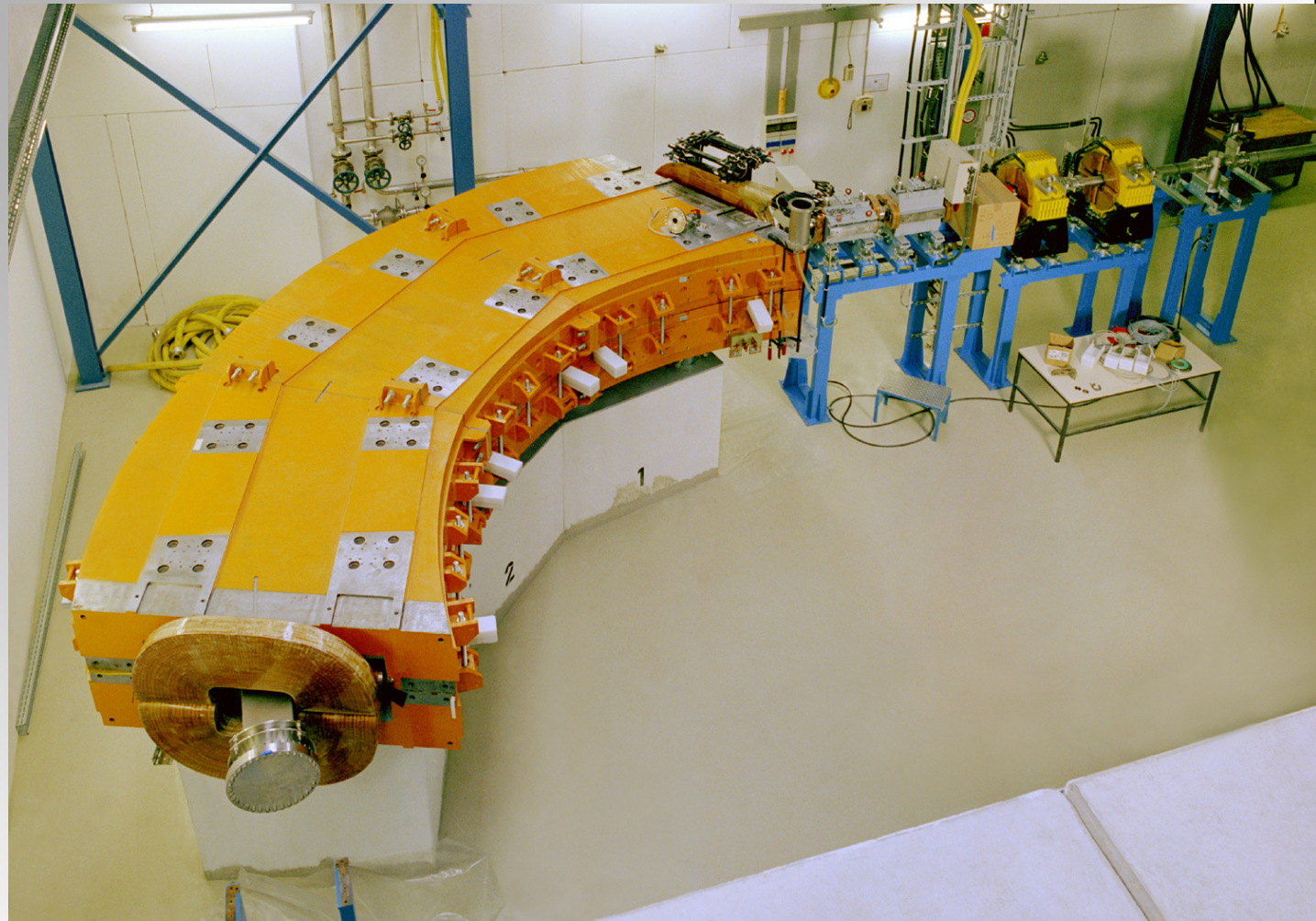
45°-HEBT-Dipol

- ◆ H-Magnet
- ◆ Gebogen
- ◆ Öffnung für Geradeausstrahl bei 3 Magneten
 - Jochverstärkung zur Kompensation der Öffnung
 - Nullfeldspule integriert
- ◆ 1.51T



90°-Gantry-Dipol

- ◆ Window-Frame-Magnet
- ◆ Extrem große Apertur
- ◆ 1.81 T

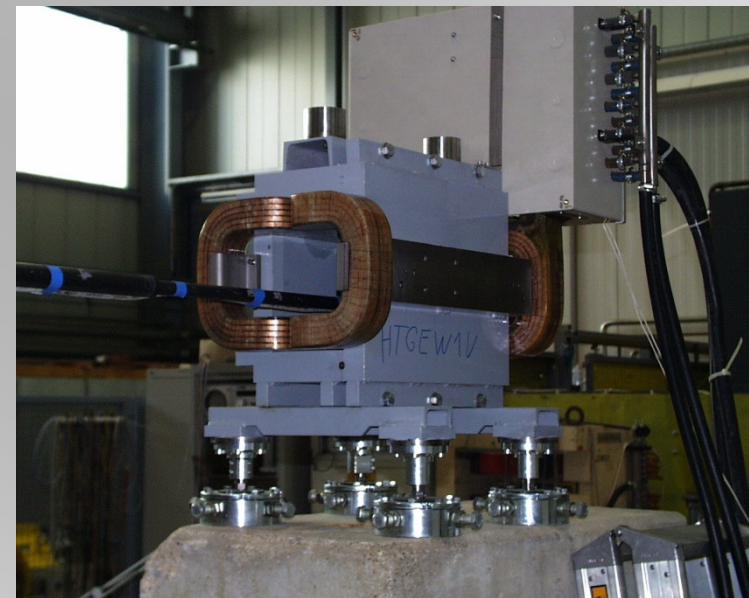
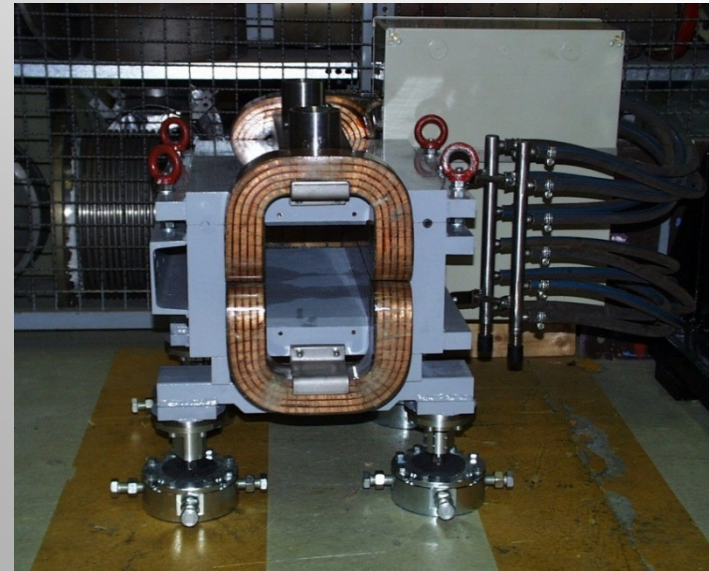
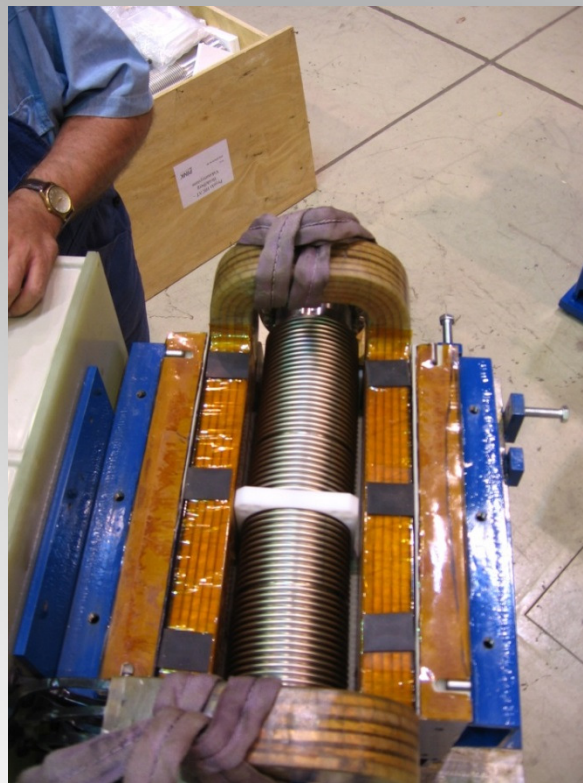


25.06.2015

H. Leibrock: Normal Conducting FAIR Magnets

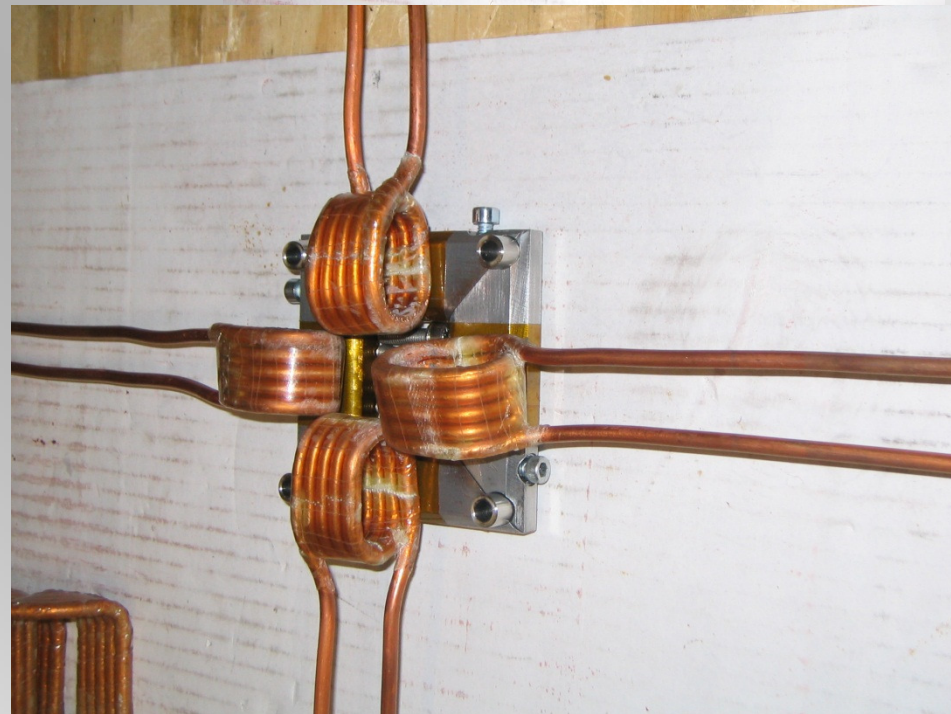
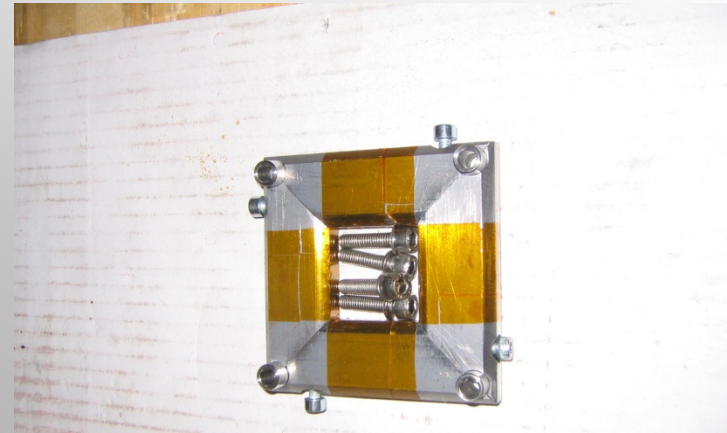
Scanner

- ◆ Window-Frame-Magnet
- ◆ Lamellendicke 0.35 mm
- ◆ Dünnwandige Kammer
- ◆ 0.31T



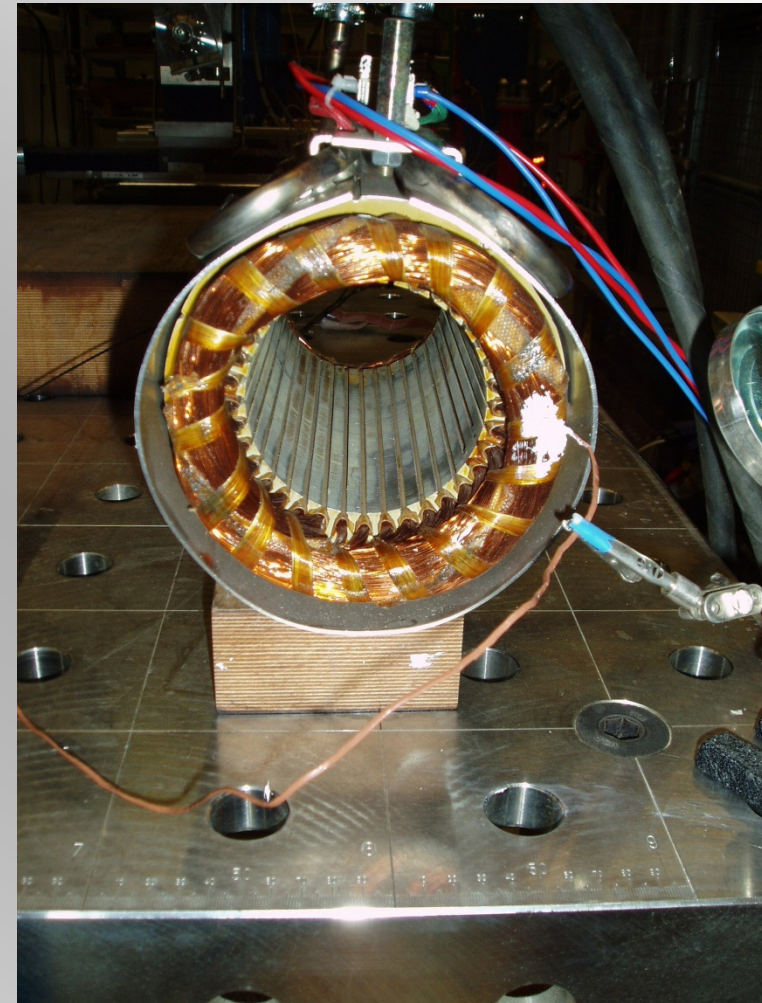
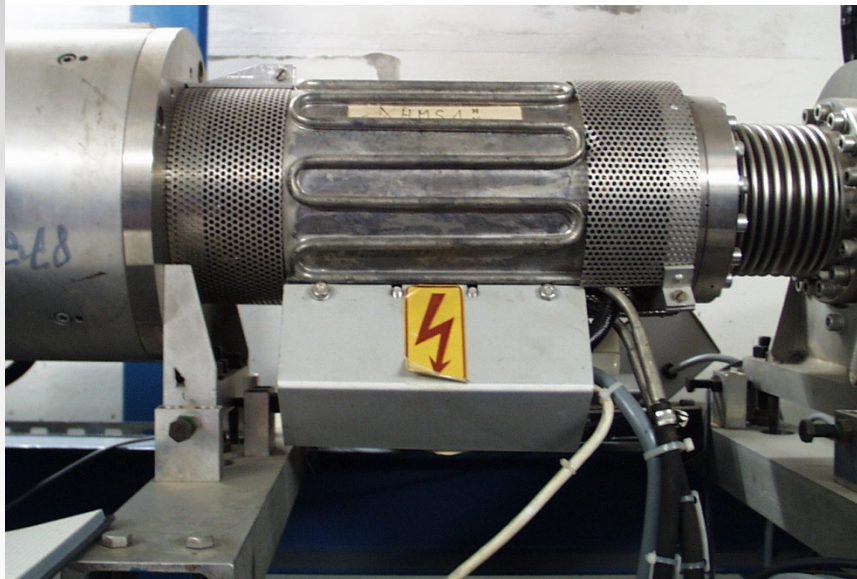
Matching Steerer

- ◆ Doppelsteerer
- ◆ Window-Frame-Magnet =
Rahmensteerer
- ◆ 0.085T



Rohrsteerer

- ◆ Stromdominiert im $\cos\theta$ -Design
- ◆ Doppelsteerer
- ◆ In den 70er Jahren als Low-Cost-Steerer entwickelt
 - Joch: Standard E-Motor-Stator
- ◆ Indirekte Kühlung mit Kühllhemd
- ◆ 0.05T



25.06.2015

H. Leibrock: Normal Conducting FAIR Magnets

Synchrotron-(Vertikal-)Steerer

- ◆ Einfachsteerer -> vertikal
- ◆ Window-Frame-Magnet
- ◆ Erhöhte Spulensymmetrie
- ◆ 0.134T



HEBT-Steerer

- ◆ Window-Frame-Magnet
- ◆ Einfachsteerer = Einbau sowohl vertikal als auch horizontal
- ◆ Bild: Horizontalsteerer Gantry
- ◆ 0.1 T

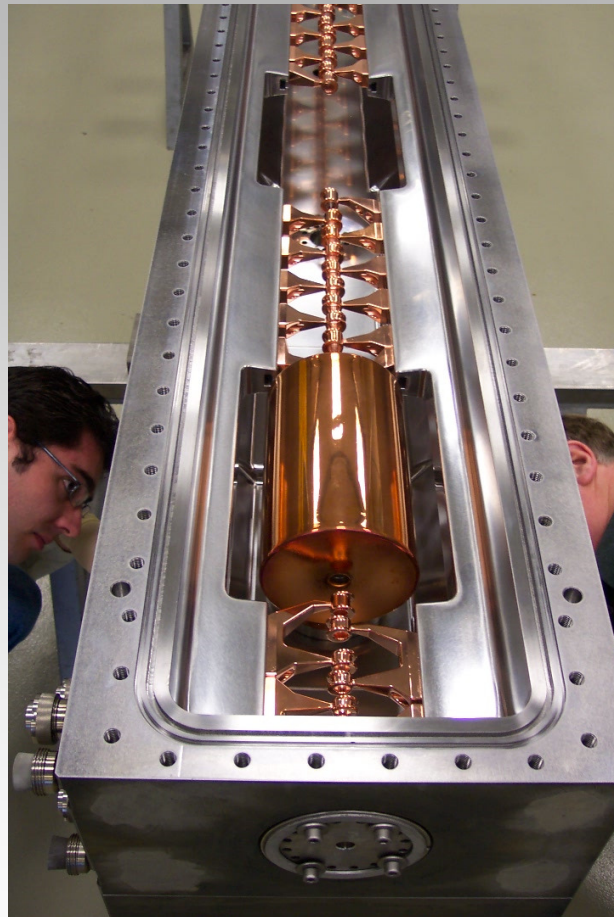


LEBT-Quadrupol

- ◆ Quadrupol ohne Polbasisverbreiterung
- ◆ Singulett und Triplett
- ◆ 3.2T/m



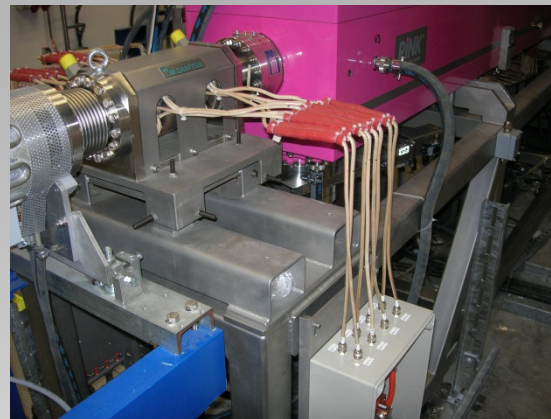
IH-Quadrupole



◆ Kompakte Bauform bei höchsten Gradienten

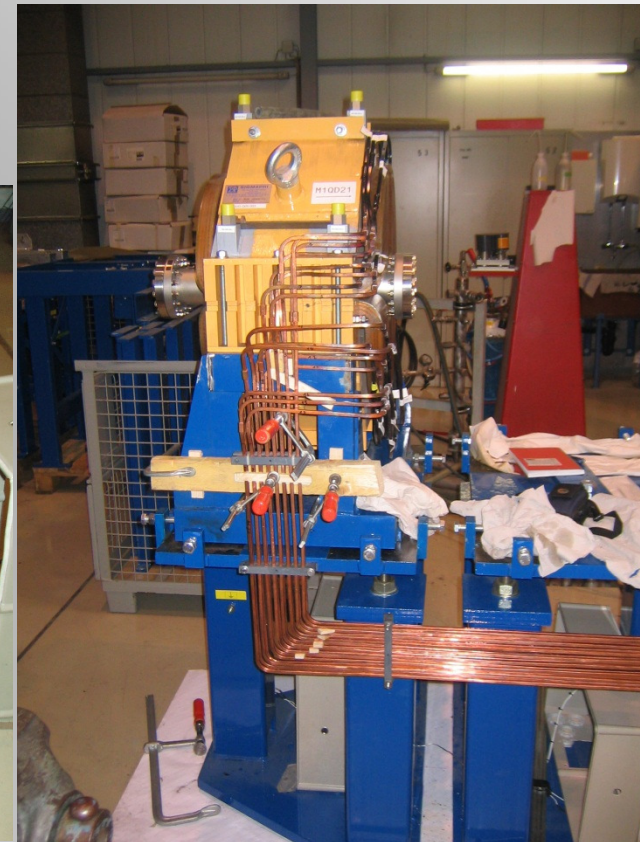
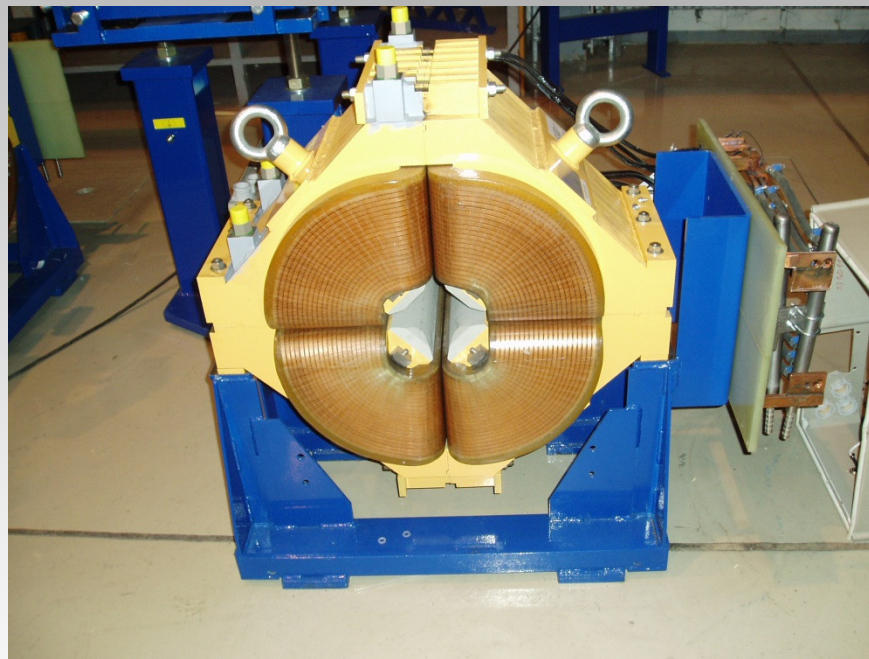
- Maximale Polbasisverbreiterung
- Joch CoFe mit 0.35mm Dicke
- Einlagige Spule

◆ Bis 124T/m



MEBT-Quadrupol (3.5)

- ◆ Maximale Polbasisverbreiterung
- ◆ Gleicher Querschnitt wie 3.6 und 3.7
- ◆ 18.8T/m

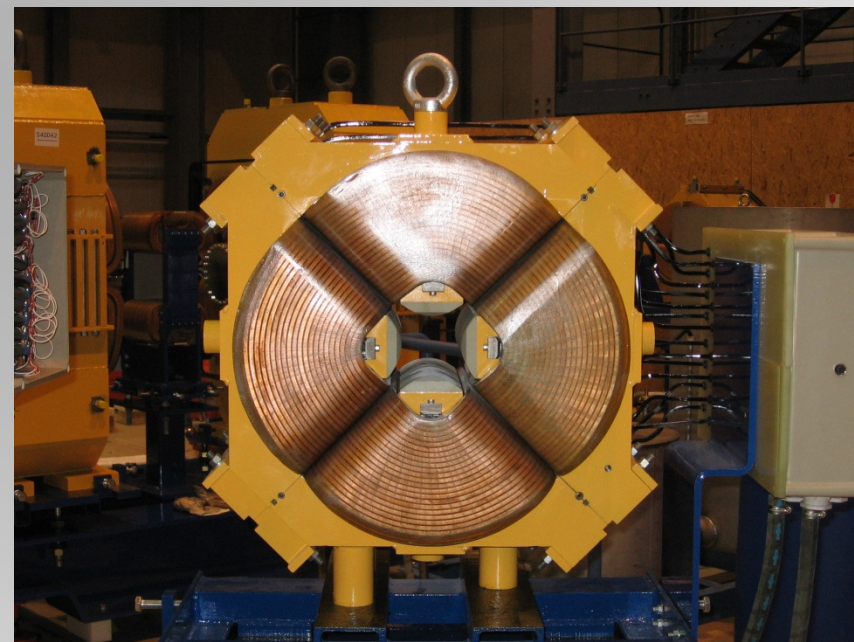


25.06.2015

H. Leibrock: Normal Conducting FAIR Magnets

Gantry-Quadrupol (3.6)

- ◆ Magnet ist baugleich zu 3.5
- ◆ Doppelgestell
- ◆ 1 schiefer Quadrupol
- ◆ 18.8T/m



25.06.2015

H. Leibrock: Normal Conducting FAIR Magnets

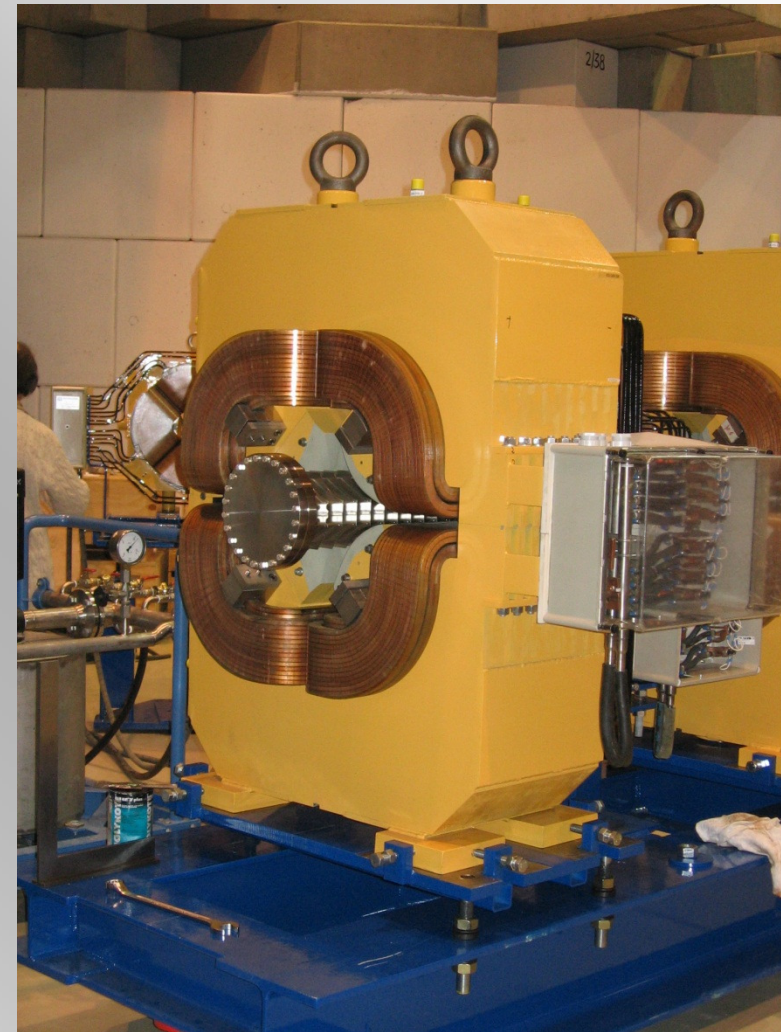
HEBT-Quadrupole (3.7)

- ◆ Wie 3.5 und 3.6
aber mit
längerem Joch
- ◆ 19.3T/m



Synchrotron-Quadrupol

- ◆ „Figure of 8“-Quadrupol
- ◆ Demontierbare Polendstücke für Feldoptimierung und Längenshimming
- ◆ 7.0T/m



Solenoid

- ◆ 0.54T
- ◆ Feld in Strahlrichtung

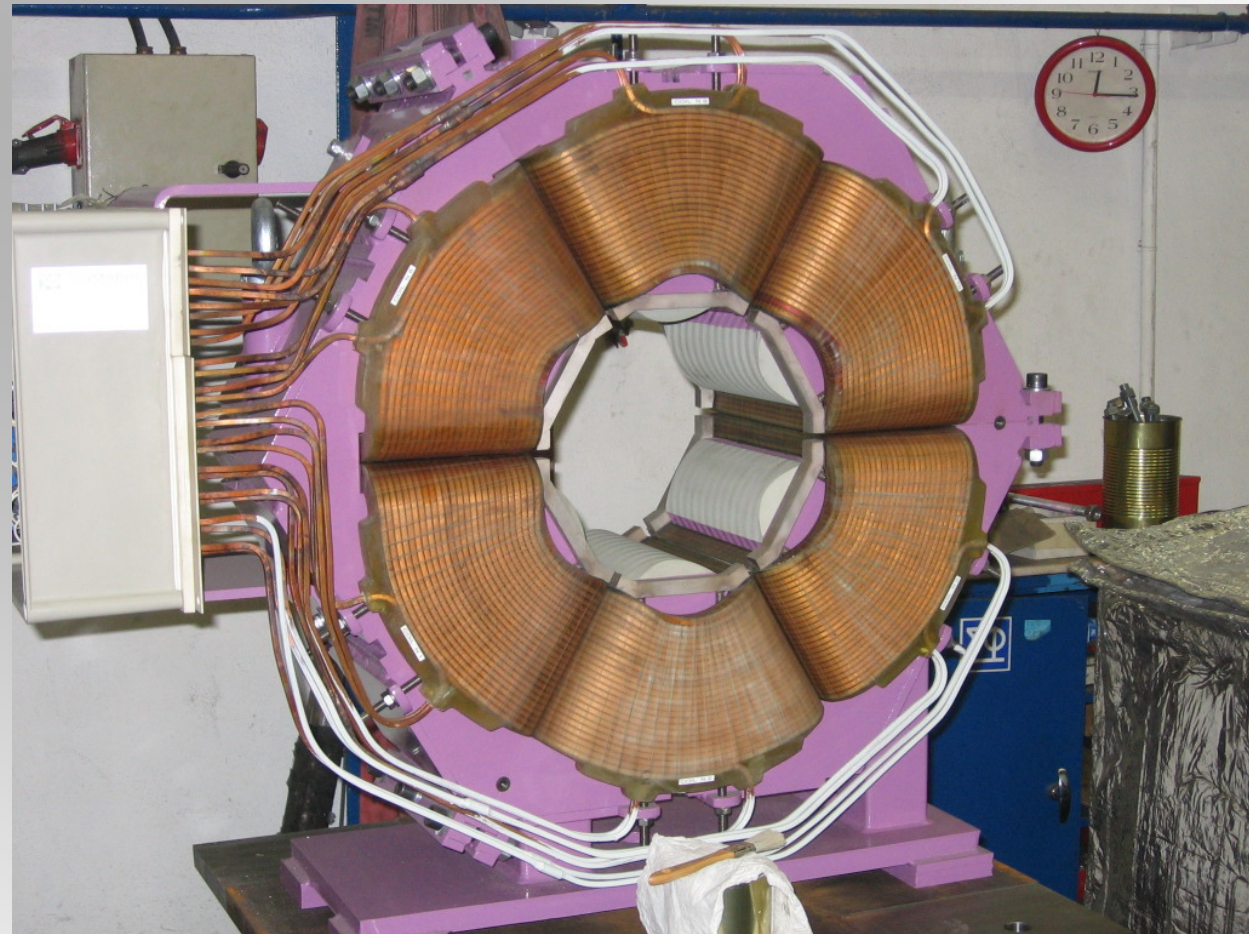


25.06.2015

H. Leibrock: Normal Conducting FAIR Magnets

Sextupol

- ◆ Joch dreiteilig aufgebaut
- ◆ $d^2B/dx^2=26.7$ T/m²



25.06.2015

H. Leibrock: Normal Conducting FAIR Magnets